

Утверждаю
Заведующий кафедрой
лучевой, функциональной и
Лабораторной диагностики
Института НМФО

 Любая Е.Д.

1. ПРИ МИЕЛОМЕ НА РЕНТГЕНОГРАММЕ КОСТЕЙ ЧЕРЕПА ВИЗУАЛИЗИРУЮТСЯ ОЧАГИ
литические без признаков слияния

бластические без мягкотканого компонента

литические с тенденцией к слиянию

бластические с мягкотканым компонентом

2. НА ПРАВИЛЬНО ПРОИЗВЕДЕННОМ АНАЛОГОВОМ РЕНТГЕНОВСКОМ СНИМКЕ
ГРУДНОЙ КЛЕТКИ В ПРЯМОЙ ПРОЕКЦИИ ВИДНО ИЗОБРАЖЕНИЕ _____ ГРУДНЫХ
ПОЗВОНКОВ

4 верхних

2 верхних

4 нижних

3 нижних

3. ПРИ МРТ СЕРДЦА У ПАЦИЕНТОВ С ВРОЖДЕННЫМ ПОРОКОМ ДЛЯ ВИЗУАЛИЗАЦИИ
ПЕРИФЕРИЧЕСКИХ СТЕНОЗОВ ЛЕГОЧНОЙ АРТЕРИИ НЕОБХОДИМО ВЫПОЛНИТЬ

3D ангиографию с контрастированием

отсроченное контрастирование миокарда

кино-сканирование в плоскости 2-х правых камер

программу спин-эхо с подавлением жира

4. НА РЕНТГЕНОГРАММЕ НА ФОНЕ ДИФFUЗНОГО СЕТЧАТОГО ФИБРОЗА ВЫЯВЛЕНЫ
МНОЖЕСТВЕННЫЕ ОЧАГИ В СРЕДНИХ И НИЖНИХ ОТДЕЛАХ ЛЁГКИХ, РАЗМЕРАМИ ОТ
1 ДО 10 ММ, НЕПРАВИЛЬНОЙ ФОРМЫ, С НЕЧЁТКИМИ КОНТУРАМИ, ЭМФИЗЕМА И
УВЕЛИЧЕННЫЕ ОБЫЗВЕЩВЛЕННЫЕ ЛИМФАТИЧЕСКИЕ УЗЛЫ, ЧТО ХАРАКТЕРНО ДЛЯ
узелкового типа пневмокониоза

интерстициального типа пневмокониоза

сетчатого пневмосклероза

узлового типа пневмокониоза

5. ДЛЯ ДИФФЕРЕНЦИАЛЬНОЙ ДИАГНОСТИКИ АБДОМИНО-МЕДИАСТИНАЛЬНОЙ
ЛИПОМЫ И ЦЕЛОМИЧЕСКОЙ КИСТЫ ПЕРИКАРДА НАИБОЛЕЕ ЦЕЛЕСООБРАЗНО
ПРИМЕНЕНИЕ

компьютерной томографии

рентгенографии в прямой и боковой проекциях

магнитно-резонансной томографии

полипозиционной рентгеноскопии

6. ЗАПАДЕНИЕ «ТАЛИИ» СЕРДЦА, УДЛИНЕНИЕ НИЖНЕЙ ДУГИ ПО ЛЕВОМУ КОНТУРУ,
ВЫБУХАНИЕ ВЕРХНЕЙ ДУГИ СПРАВА ХАРАКТЕРНЫ ДЛЯ

аортальной конфигурации сердца

трапециевидной конфигурации сердца

шаровидной конфигурации сердца

формы с локальным расширением

7. В НОРМЕ В ПОЯСНИЧНОМ ОТДЕЛЕ ПОЗВОНОЧНИКА ОПРЕДЕЛЯЕТСЯ

лордоз

усиление кифоза

сколиоз

кифоз

8. ГИПОПЛАЗИЯ ЛЕГОЧНОЙ АРТЕРИИ НА ПЕРЕДНЕЙ РЕНТГЕНОГРАММЕ ЛЕГКИХ ПРОЯВЛЯЕТСЯ _____ ЛЕГОЧНОГО РИСУНКА

обеднением

деформацией

усилением

отсутствием

9. НА АКСИАЛЬНЫХ СРЕЗАХ ПРИ КОМПЬЮТЕРНОЙ ТОМОГРАФИИ НА УРОВНЕ РЕБЕРНО-ДИАФРАГМАЛЬНЫХ СИНУСОВ ЛЕГОЧНАЯ ТКАНЬ ОБЫЧНО ПРЕДСТАВЛЕНА _____ СЕГМЕНТАМИ С ОБЕИХ СТОРОН

десятыми

девятыми

шестыми

восьмыми

10. МЕРОЙ РИСКА ВОЗНИКНОВЕНИЯ ОТДАЛЕННЫХ ПОСЛЕДСТВИЙ ОБЛУЧЕНИЯ ВСЕГО ЧЕЛОВЕКА И ОТДЕЛЬНЫХ ЕГО ОРГАНОВ И ТКАНЕЙ С УЧЕТОМ ИХ РАДИОЧУВСТВИТЕЛЬНОСТИ ЯВЛЯЕТСЯ ДОЗА

эффективная

поглощенная

в органе и ткани

эквивалентная

11. ОСНОВНЫМ КРИТЕРИЕМ В КОМПЬЮТЕРНОТОМОГРАФИЧЕСКОЙ ДИАГНОСТИКЕ ОБЫЗВЕЩЕНИЯ КЛАПАНОВ СЕРДЦА ЯВЛЯЕТСЯ НАЛИЧИЕ В НИХ УЧАСТКОВ СО ЗНАЧЕНИЯМИ ПЛОТНОСТИ _____ ЕД. Н.

+200 - +800

-90 - -120

+20 - +60

-200 - - 800

12. ДЛЯ ДИАГНОСТИКИ ПИЩЕВОДНО-ТРАХЕАЛЬНОГО СВИЩА ИСПОЛЬЗУЕТСЯ

водорастворимое контрастное вещество

бариевая паста

таблетка сульфата бария

жидкая взвесь сульфата бария

13. ДЛЯ ГЕМАНГИОМ ПЕЧЕНИ БОЛЬШИХ РАЗМЕРОВ ХАРАКТЕРНО

центростремительное контрастирование в виде лакун

кольцевидное накопление контрастного препарата в гепатоспецифическую фазу контрастирования
гомогенное контрастирование в артериальную фазу с негомогенным вымыванием к отсроченной фазе

гомогенное накопление контрастного препарата в гепатоспецифическую фазу контрастирования

14. ОПТИМАЛЬНЫМ ЯВЛЯЕТСЯ ПРОВЕДЕНИЕ УЛЬТРАЗВУКОВОГО ИССЛЕДОВАНИЯ ОРГАНОВ МАЛОГО ТАЗА У ЖЕНЩИН РЕПРОДУКТИВНОГО ВОЗРАСТА НА _____ ДЕНЬ МЕНСТРУАЛЬНОГО ЦИКЛА

6-12

20-25

1-6

15-20

15. ПРИ НОРМАЛЬНОМ КРОВОТОКЕ НА РЕНТГЕНОГРАММЕ В ПЕРЕДНЕЙ ПРОЕКЦИИ, СДЕЛАННОЙ В ВЕРТИКАЛЬНОМ ПОЛОЖЕНИИ, ЛЕГОЧНЫЕ ВЕНОЗНЫЕ СОСУДЫ В НИЖНИХ ОТДЕЛАХ ЛЕГКИХ БОЛЕЕ _____ ЧЕМ В ВЕРХНИХ ОТДЕЛАХ ЛЕГКИХ

- широкие**
- извилистые
- узкие
- прямые

16. ПРИ МР-ИССЛЕДОВАНИИ ГИПОФИЗАРНОЙ ОБЛАСТИ ВЫЯВЛЕНО РАСПРОСТРАНЕНИЕ МИКРОАДЕНОМЫ ГИПОФИЗА В СТОРОНУ ПЛОЩАДКИ ОСНОВНОЙ КОСТИ И КАВЕРНОЗНЫЙ СИНУС, ЧТО СООТВЕТСТВУЕТ _____ РОСТУ ОПУХОЛИ

- анте-, латероселлярному**
- супра-, латероселлярному
- анте-, инфраселлярному
- ретро-, инфраселлярному

17. ДЛЯ ДИАГНОСТИКИ ЗАБОЛЕВАНИЙ ТОЛСТОЙ КИШКИ ПРИ РЕНТГЕНОЛОГИЧЕСКОМ ИССЛЕДОВАНИИ В КАЧЕСТВЕ ОСНОВНОГО МЕТОДА ДИАГНОСТИКИ ПРИМЕНЯЕТСЯ

- первичное двойное контрастирование**
- пассаж по кишечнику жидкой взвеси сульфата бария
- контрастная клизма с водорастворимым контрастным веществом
- пассаж по кишечнику водорастворимого контрастного вещества

18. ХАРАКТЕРНЫМ РЕНТГЕНОЛОГИЧЕСКИМ ПРИЗНАКОМ МНОГОКЛАПАННОГО ПОРАЖЕНИЯ СЕРДЦА ЯВЛЯЕТСЯ

- кардиомегалия**
- форма сердца в виде «яблока, лежащего на боку»
- аортальная конфигурация сердца
- митральная конфигурация сердца

19. ПИЩЕВОДНО-ЖЕЛУДОЧНЫЙ ПЕРЕХОД ПРИ ВРОЖДЕННОМ КОРОТКОМ ПИЩЕВОДЕ РАСПОЛАГАЕТСЯ НА УРОВНЕ _____ ГРУДНОГО ПОЗВОНКА

- V**
- III
- VII
- II

20. НА СНИМКЕ СЕРДЦА В ПЕРВОЙ КОСОЙ ПРОЕКЦИИ ЛЕВОЕ ПРЕДСЕРДИЕ В НОРМЕ ЗАНИМАЕТ _____ ЗАДНЕГО КОНТУРА

- среднюю треть**
- верхнюю половину
- нижнюю четверть
- нижнюю треть

21. РАЗМЕР ОЧАГОВ ПРИ МИЛИАРНОМ ТИПЕ ДИССЕМИНАЦИИ СОСТАВЛЯЕТ (В ММ)

- 1–2**
- более 15
- 9–12
- 12–15

22. ОСНОВНЫМ РЕНТГЕНОЛОГИЧЕСКИМ СИМПТОМОМ ОСКОЛЬЧАТОГО РАЗРЫВНОГО ПЕРЕЛОМА АТЛАНТА ЯВЛЯЕТСЯ

- выступание боковой массы атланта за край боковой суставной поверхности аксиса с обеих сторон**
- неодинаковое расстояние от боковых масс атланта до зубовидного отростка аксиса

отрыв костного фрагмента боковой массы атланта
выступление боковой массы атланта за край боковой суставной поверхности аксиса с одной стороны

23. ОСНОВНЫМ КРИТЕРИЕМ ПРАВИЛЬНОГО СООТНОШЕНИЯ МЕЖДУ АТЛАНТОМ И АКСИСОМ ЯВЛЯЕТСЯ

расстояние между передней дугой атланта и зубовидным отростком аксиса, не превышающее 2 мм

симметричное изображение атланта

одинаковая ширина суставных щелей боковых атланта-аксиальных суставов

соответствие наружных краев боковых суставных поверхностей атланта и аксиса

24. ПРИ КОМПЬЮТЕРНОЙ ТОМОГРАФИИ ДОЧЕРНИЕ ЭХИНОКОККОВЫЕ КИСТЫ В ОТЛИЧИЕ ОТ МАТЕРИНСКИХ

меньше по размеру и плотности

больше по плотности

меньше по размеру

больше по размеру и плотности

25. СОГЛАСНО НОМЕНКЛАТУРЕ К ЛЕЧЕБНО-ПРОФИЛАКТИЧЕСКИМ МЕДИЦИНСКИМ ОРГАНИЗАЦИЯМ ОТНОСЯТ

медико-санитарную часть

бюро медицинской статистики

центр мобилизационных резервов

центр военно-врачебной экспертизы

26. ОЧАГ КРОВОИЗЛИЯНИЯ НА МРТ ИЗОТЕНСИВЕН И НА T1-ВИ И НА T2-ВИ, ЗНАЧИТ ЕГО ДАВНОСТЬ СОСТАВЛЯЕТ

менее суток

более 3 недель

от 1 до 3 недель

от 2 до 7 суток

27. ДЛЯ БОЛЕЕ ТОЧНОЙ ОЦЕНКИ РАСПРОСТРАНЕННОСТИ ОПУХОЛИ ПОЧКИ НЕОБХОДИМО НАЗНАЧИТЬ ПАЦИЕНТУ

компьютерную томографию

экскреторную урографию

ультразвуковое исследование

ангиографию

28. КОМПЬЮТЕРНЫЕ ПРОГРАММЫ-АССИСТЕНТЫ ВРАЧА-РЕНТГЕНОЛОГА, В ОСНОВНОМ, ПРИМЕНЯЮТСЯ В КАЧЕСТВЕ

способа автоматизированного выделения областей изображения с вероятной патологией

инструмента для обработки изображений и их передачи другим специалистам

справочной системы по работе с диагностическим аппаратом и компьютером

инструмента для автоматизированного создания готового протокола описания проведенного исследования

29. ПОД РЕНТГЕНОЛОГИЧЕСКИМ СИНДРОМОМ ПОНИМАЮТ СОВОКУПНОСТЬ

рентгенологических симптомов, объединенных единым патогенезом

клинических признаков патологической тени

нарушений функционального состояния органа

теневых картин, требующих проведения дифференциальной диагностики

30. ПРИ ВЫЯВЛЕНИИ НА МАГНИТНО-РЕЗОНАНСНОЙ ТОМОГРАФИИ СПИННОГО МОЗГА ПРОТЯЖЕННОГО ИНТРАМЕДУЛЛЯРНОГО ОЧАГА, НАКАПЛИВАЮЩЕГО КОНТРАСТНЫЙ

ПРЕПАРАТ ЗАДНИМИ СТОЛБАМИ И ПРИЛЕЖАЩИМИ ОБОЛОЧКАМИ ПО ТИПУ «ТРИЗУБЦА», СЛЕДУЕТ ЗАПОДОЗРИТЬ

нейросаркоидоз

поперечный миелит
оптикомиелит Девика
фуникулярный миелоз

31. ПРОЯВЛЕНИЕМ САКРОИЛИИТА СТАДИИ 2 НА КОМПЬЮТЕРНОЙ ТОМОГРАФИИ ЯВЛЯЕТСЯ

эрозия и склероз

склероз вдоль суставных поверхностей
расширение суставной щели
эрозия суставных поверхностей

32. НАИБОЛЕЕ ЧАСТОЙ ПРИЧИНОЙ РАЗВИТИЯ СПОНТАННОГО ПНЕВМОТОРАКСА ЯВЛЯЕТСЯ

буллезная эмфизема

тромбоэмболия легочной артерии
туберкулома
абсцедирующая пневмония

33. К КОСВЕННЫМ РЕНТГЕНОЛОГИЧЕСКИМ ПРИЗНАКАМ ЯЗВЫ ЖЕЛУДКА ОТНОСЯТ

нарушение тонической функции желудка

симптом «ниши»
рубцово-язвенную деформацию
отсутствие газового пузыря

34. СИММЕТРИЧНОЕ ПОРАЖЕНИЕ ЗАДНИХ СТОЛБОВ СПИННОГО МОЗГА ХАРАКТЕРНО ДЛЯ

фуникулярного миелоза

миксопапиллярной эпендимомы
вирусного (герпетического) миелита
оптикомиелита Девика

35. ДЛЯ НАБЛЮДЕНИЯ ПОСЛЕ TEVAR ИЛИ EVAR (ЭНДОВАСКУЛЯРНОГО ВМЕШАТЕЛЬСТВА НА ГРУДНОЙ ИЛИ БРЮШНОЙ АОРТЕ) В КАЧЕСТВЕ МЕТОДА ВИЗУАЛИЗАЦИИ ПЕРВОЙ ЛИНИИ РЕКОМЕНДОВАНА

компьютерная томоангиография

аортография
магнитно-резонансная томоангиография
внутрисосудистое ультразвуковое исследование

36. ЦЕНТРИЛОБУЛЯРНЫЕ (АЦИНАРНЫЕ) ОЧАГИ ОТСУТСТВУЮТ ПРИ

саркоидозе

аденокарциноме с поверхностным ростом (бронхиолоальвеолярном раке)
гиперчувствительном пневмоните (экзогенном аллергическом альвеолите)
лангергансоклеточном легочном гистиоцитозе

37. НЕЧЕТКИЕ И НЕРОВНЫЕ КОНТУРЫ СЕРДЦА НАБЛЮДАЮТ ПРИ

слипчивом перикардите

гипертонической болезни
миокардите
атеросклеротическом аортокардиосклерозе

38. ПРИЗНАКОМ, КОТОРЫЙ ОТНОСИТСЯ К ИЗМЕНЕНИЯМ ПЛЕВРЫ, СВЯЗАННЫМ С АСБЕСТОЗОМ, ЯВЛЯЕТСЯ

наличие плоских возвышений с резко очерченными краями

отсутствие центральных кальцификатов
отсутствие фиброза субплеврального жира
локализация в междолевых щелях и на медиастинальной плевре

39. ПРИЗНАКОМ ИНВАЗИИ РАКА ПИЩЕВОДА В ПЕРИКАРД ПРИ КОМПЬЮТЕРНОЙ ТОМОГРАФИИ ЯВЛЯЕТСЯ

утолщение перикарда

наличие выпота в полости перикарда
сетчатая структура жировой клетчатки между опухолью и перикардом
наличие спаек в полости перикарда

40. К СИНДРОМУ «КРУГЛОЙ ТЕНИ» НЕ ОТНОСИТСЯ

внутрилегочная секвестрация

периферическая опухоль легкого
туберкулема
сосудистая мальформация

41. ПОД ОТОБРАЖЕНИЕМ ПУЛЬПИТА И ПЕРИОДОНТИТА НА РЕНТГЕНОГРАММЕ ПОНИМАЮТ

полость кариозной деструкции в коронке сообщается с каналом зуба и расширением периодонтальной щели

участки зуба с поверхностными или глубокими проникающими в камеру зуба деструктивными полостями в виде просветления и деструктивными изменениями окружающей костной ткани нижней челюсти
полость кариозной деструкции в коронке сообщается с каналом зуба, расширением периодонтальной щели и формированием гранулемы в виде локального просветления у корня зуба
участки зуба с поверхностными или глубокими проникающими в камеру зуба деструктивными полостями в виде просветлений

42. СОЧЕТАНИЕ ДЕФЕКТА МЕЖПРЕДСЕРДНОЙ ПЕРЕГОРОДКИ И СТЕНОЗА МИТРАЛЬНОГО КЛАПАНА ВХОДИТ В ПОНЯТИЕ СИНДРОМА

Лютембаше (Лютембахера)

Педжета – Шреттера
Эйзенменгера
Вильямса

43. ЛЕВАЯ ОБЩАЯ СОННАЯ АРТЕРИЯ ОТХОДИТ ОТ

аорты

плечеголовного ствола
левой подключичной артерии
общей сонной артерии

44. ГИПЕРИНТЕНСИВНОСТЬ ПАРЕНХИМЫ СПИННОГО МОЗГА НА T2-ВИ С ЦЕНТРАЛЬНОЙ ЗОНОЙ, НАПОМИНАЮЩЕЙ «СОВИНЫЙ ГЛАЗ», ХАРАКТЕРНА ДЛЯ

инфаркта

метастазов
глиомы
демиелинизирующих заболеваний

45. ПРОТОКОЛ МР-ИССЛЕДОВАНИЯ СЕРДЦА У ПАЦИЕНТОВ С ВРОЖДЕННЫМИ ПОРОКАМИ СЕРДЦА ПРИ НАЛИЧИИ РЕГУРГИТАЦИИ ОБЯЗАТЕЛЬНО ДОЛЖЕН ВКЛЮЧАТЬ В АНАЛИЗ

расчет объема и процента регургитации

оценку показателей кровотока в нижней полой вене
оценку показателей кровотока в легочных венах
оценку показателей кровотока в верхней полой вене

46. МАЛЫЙ РАДИУС ДУГИ ОТКЛОНЕНИЯ КОНТРАСТИРОВАННОГО ПИЩЕВОДА НА РЕНТГЕНОГРАММЕ В ПРАВОЙ ПЕРЕДНЕЙ КОСОЙ ПРОЕКЦИИ ЯВЛЯЕТСЯ СИМПТОМОМ, ХАРАКТЕРНЫМ ДЛЯ

митрального стеноза

транспозиции магистральных сосудов
аномалии Эбштейна
тетрады Фалло

47. СУБСТРАТОМ НОРМАЛЬНОГО ЛЕГОЧНОГО РИСУНКА НА РЕНТГЕНОГРАММАХ ЯВЛЯЮТСЯ

кровеносные сосуды

лимфатические сосуды
бронхиолы
бронхи

48. НА РЕНТГЕНОГРАММЕ ОТМЕЧАЕТСЯ УСИЛЕНИЕ ЛЕГОЧНОГО РИСУНКА, ОЧАГОВЫЕ ТЕНИ НЕПРАВИЛЬНОЙ ФОРМЫ С НЕЧЕТКИМИ КОНТУРАМИ «СНЕЖНЫЕ ХЛОПЬЯ», КОТОРЫЕ СКЛОННЫ К СЛИЯНИЮ В ИНФИЛЬТРАТЫ, ПОЯВЛЯЮТСЯ ПОЛОСТИ РАСПАДА В ИНФИЛЬТРАТАХ, УВЕЛИЧИВАЮТСЯ ЛИМФАТИЧЕСКИЕ УЗЛЫ КОРНЕЙ ЛЕГКИХ, ЧТО НАИБОЛЕЕ ХАРАКТЕРНО ДЛЯ _____ ЛЕГКИХ

хронического кандидамикоза

первичного аспергиллёза
пневмоцистоза
эхинококкоза

49. РЕФЛЮКС-ЭЗОФАГИТ РАЗВИВАЕТСЯ НАИБОЛЕЕ ЧАСТО У БОЛЬНЫХ С **грыжей пищеводного отверстия диафрагмы**

раком желудка
гастритом с пониженной кислотностью
гипермоторной дискинезией пищевода

50. ДВУСТОРОННИЕ СИММЕТРИЧНО РАСПОЛОЖЕННЫЕ ЗОНЫ В БАЗАЛЬНЫХ ЯДРАХ Пониженной плотности на компьютерной томографии у ребенка 1 года жизни могут соответствовать

гипоксически-ишемическому повреждению

заболеванию обмена веществ
возрастной норме
инфекционному поражению

51. К МЕТОДИКАМ РЕНТГЕНОВСКОГО ДООБСЛЕДОВАНИЯ МОЛОЧНЫХ ЖЕЛЕЗ НЕ ОТНОСИТСЯ

соноэластография компрессионная

стереомаммография
томосинтез
пневмокистография

52. К ВНУТРИЛЕГОЧНЫМ ПРОЦЕССАМ, ОТОБРАЖАЮЩИМСЯ СИНДРОМОМ ОГРАНИЧЕННОГО ПРОСВЕТЛЕНИЯ НА РЕНТГЕНОГРАММАХ ОРГАНОВ ГРУДНОЙ ПОЛОСТИ, ОТНОСЯТ

истинные и ложные кисты

различные формы туберкулеза
различные формы периферического рака
эмфизематозные буллы и тотальный пневмоторакс легкого

53. ДЛЯ УСТАНОВЛЕНИЯ СТЕПЕНИ СТЕНОЗА КЛАПАНОВ ПРИ ФАЗОВО-КОНТРАСТНОЙ МРТ СЕРДЦА НЕОБХОДИМО РАССЧИТАТЬ

градиент давления

фракцию выброса правого желудочков
фракцию выброса левого желудочков
объем регургитации

54. ПРАВЫЙ КОНТУР СЕРДЕЧНОСОСУДИСТОЙ ТЕНИ НА РЕНТГЕНОГРАММЕ СЕРДЦА И КРУПНЫХ СОСУДОВ В ПРЯМОЙ ПРОЕКЦИИ ОТРАЖАЕТ СОСТОЯНИЕ

восходящей аорты и правого предсердия

легочной артерии и левого желудочка
левого предсердия и дуги аорты
восходящей аорты и легочной артерии

55. ДОПОЛНИТЕЛЬНЫМ ВАРИАНТОМ НАКОПЛЕНИЯ КОНТРАСТНОГО ВЕЩЕСТВА ГЕМАНГИОМАМИ ПЕЧЕНИ ЯВЛЯЕТСЯ

гомогенное накопление в артериальную фазу и снижение яркости к отсроченной фазе

гетерогенное накопление в артериальную фазу и повышение яркости к отсроченной фазе
выраженное гомогенное накопление в артериальную и отсроченную фазы
слабо выраженное в артериальную фазу и снижение яркости к отсроченной фазе

56. К МР-ХАРАКТЕРИСТИКАМ АБСЦЕССА МОЗГА ОТНОСИТСЯ КИСТОЗНАЯ ПОЛОСТЬ С **толстыми стенками, активно накапливающими контрастный препарат**

тонкими стенками, не накапливающими контрастный препарат
тонкими стенками, активно накапливающими контрастный препарат
толстыми стенками, не накапливающими контрастный препарат

57. ПОД ХОЛЕДОХОЦЕЛЕ ПОНИМАЮТ

кистозное расширение общего желчного протока в толще стенки двенадцатиперстной кишки

кистозное расширение общего желчного протока в области впадения в него пузырного протока
веретенообразное расширение общего желчного протока в средней его трети
расширение внутривенечного протока

58. ФОКАЛЬНУЮ НОДУЛЯРНУЮ ГИПЕРПЛАЗИЮ ОТ ГЕМАНГИОМЫ ПЕЧЕНИ ОТЛИЧАЕТ **накопление контрастного препарата в гепатоспецифическую фазу**

расположение рядом с ветвью воротной вены или печеночной веной
наличие центрального рубца с высоким сигналом на T2-ВИ с подавлением сигнала от жира
низкая интенсивность сигнала на T1-ВИ gradient echo

59. ДЕТЕРМИНИРОВАННЫЕ РАДИОБИОЛОГИЧЕСКИЕ ЭФФЕКТЫ ОБУСЛОВЛЕННЫ

гибелью определенной массы клеток при поглощении тканью определенной дозы излучения

трансформацией спермато- и овоцитов
гибелью отдельных клеток тканей организма
случайной трансформацией и выживанием одиночной клетки у кого-либо из популяции, подвергавшейся воздействию ионизирующего излучения

60. КИСТА С СЕПТАМИ И КАЛЬЦИНАТАМИ ПО КЛАССИФИКАЦИИ BOSNIAK ОТНОСИТСЯ К _____ ТИПУ

III

IV

II

I

61. НАИБОЛЕЕ ИНФОРМАТИВНЫМ МЕТОДОМ ОБНАРУЖЕНИЯ РАКА ПРЕДСТАТЕЛЬНОЙ ЖЕЛЕЗЫ ЯВЛЯЕТСЯ

магнитно-резонансная томография

компьютерная томография
радиоизотопное исследование
ультразвуковое исследование

62. РЕБРА НА РЕНТГЕНОГРАММАХ ИМЕЮТ ВИД _____ ТЕНЕЙ

полосовидных

трапециевидных

округлых

треугольных

63. КОМПЬЮТЕРОТОМОГРАФИЧЕСКИМ ПРИЗНАКОМ ЭХИНОКОККА СЕРДЦА ЯВЛЯЕТСЯ НАЛИЧИЕ

обызвествления по контуру образования

множественных жидкостных образований в стенке миокарда

воздушной полости в стенке миокарда желудочков

выраженной деформации контуров органа

64. ПРИ ЛЕЙКОЗАХ МЕЛКООЧАГОВАЯ ДЕСТРУКЦИЯ КОСТНОЙ ТКАНИ НАИБОЛЕЕ ЧАСТО ОПРЕДЕЛЯЕТСЯ В _____ ТРУБЧАТЫХ КОСТЕЙ

диафизах длинных

эпифизах длинных

диафизах коротких

эпифизах коротких

65. АДЕНОКАРЦИНОМА, РАСПОЛОЖЕННАЯ В ПРЕДЕЛАХ 5 СМ ВЫШЕ И 1 СМ НИЖЕ ПИЩЕВОДНО-ЖЕЛУДОЧНОГО ПЕРЕХОДА, НАЗЫВАЕТСЯ ОПУХОЛЬЮ

пищеводно-желудочного перехода тип 1 по классификации Siewert

пищевода

пищеводно-желудочного перехода тип 2 по классификации Siewert

пищеводно-желудочного перехода тип 3 по классификации Siewert

66. САХАРОСНИЖАЮЩИМ ПРЕПАРАТОМ, ТРЕБУЮЩИМ ОТМЕНЫ ЗА 2 СУТОК ДО ПРОВЕДЕНИЯ РЕНТГЕНКОНТРАСТНОЙ АНГИОГРАФИИ, ЯВЛЯЕТСЯ

дапаглифлозин

инсулин человеческий

эксенатид пролонгированного действия

глипизид ретард

67. НАИБОЛЕЕ ЧАСТОЙ ДОБРОКАЧЕСТВЕННОЙ ОПУХОЛЬЮ ПОЧКИ, ВЫЯВЛЯЕМОЙ ПРИ КТ, ЯВЛЯЕТСЯ

ангиомиолиптома

кистозная нефрома

онкоцитомы

медуллярная карцинома

68. ВЗВЕШЕННЫЕ ПО ПРОТОННОЙ ПЛОТНОСТИ ИЗОБРАЖЕНИЯ ПОЛУЧАЮТСЯ ПРИ СОЧЕТАНИИ

среднего TR и короткого TE

длинного TR и короткого TE

длинного TR и длинного TE

короткого TR и короткого TE

69. ПАРЕНХИМА ПЕЧЕНИ ПРИ ВТОРИЧНОМ ГЕМОСИДЕРОЗЕ НА КТ ХАРАКТЕРИЗУЕТСЯ **увеличением плотности печени диффузно до 100-140 ед.Н.**

усилением сосудистого рисунка

участками сегментарного фиброза и регенераторными узелками

перипортальной инфильтрацией паренхимы

70. ПЕРЕДНИЕ ОТДЕЛЫ РЕБЕР ПО СРАВНЕНИЮ С ЗАДНИМИ ОТДЕЛАМИ НА РЕНТГЕНОГРАММЕ ЛЕГКИХ В ПЕРЕДНЕЙ (ПЕРЕДНЕЗАДНЕЙ) ПРОЕКЦИИ ОТЛИЧАЮТСЯ _____ ШИРИНОЙ И _____ ИНТЕНСИВНОСТЬЮ ТЕНИ

большей; меньшей

большей; большей

меньшей; меньшей

меньшей; большей

71. ПРИ РАССЕЯННОМ СКЛЕРОЗЕ ОЧАГИ ЛОКАЛИЗУЮТСЯ В _____ ОТДЕЛЕ СПИННОГО МОЗГА

шейном

крестцовом

поясничном

грудном

72. ПИЩЕВОД НА УРОВНЕ ДУГИ АОРТЫ (ПРЯМАЯ ПРОЕКЦИЯ) ОТКЛОНЯЕТСЯ ВЛЕВО ПРИ

правосторонней дуге аорты

гипертонической болезни

коарктации аорты

недостаточности аортального клапана

73. «ШТОПОРООБРАЗНЫЙ ПИЩЕВОД» ХАРАКТЕРЕН ДЛЯ

нейромышечного заболевания

аномалии развития

порока развития

воспалительного заболевания

74. К ПРИЗНАКАМ ЛЕГОЧНОЙ ГИПЕРТЕНЗИИ ОТНОСИТСЯ РАСШИРЕНИЕ КАЛИБРА ОСНОВНОГО СТВОЛА БОЛЕЕ 29 ММ

с уменьшением калибра дистальных сосудов

с расширением калибра дистальных сосудов

с нормальным контрастированием дистальных сосудов

без изменения калибра дистальных сосудов

75. ПРИ ПОДОЗРЕНИИ НА ПЕРЕЛОМ КОСТЕЙ ЛИЦЕВОГО СКЕЛЕТА ПАЦИЕНТУ НЕОБХОДИМО ПРОВЕСТИ РЕНТГЕНОГРАФИЮ В _____ ПРОЕКЦИИ

носо-подбородочной

прямой задней

носо-лобной

прямой передней

76. ОБЪЁМНОЕ КИСТОЗНО-СОЛИДНОЕ ОБРАЗОВАНИЕ С КАЛЬЦИНИРОВАННЫМИ СТЕНКАМИ, С ГОМОГЕННЫМ ЖИДКОСТНЫМ СОДЕРЖИМЫМ, ЕДИНИЧНЫМИ ПЕРЕГОРОДКАМИ, С МЕЛКИМИ ЖИДКОСТНЫМИ ВКЛЮЧЕНИЯМИ В ПРОСВЕТЕ, БЕЗ НАКОПЛЕНИЯ КОНТРАСТНОГО ПРЕПАРАТА СООТВЕТСТВУЕТ

эхинококковой кисте

билиарной цистаденокарциноме

билиарной цистаденоме

кисте печени, осложненной воспалительным процессом

77. ЛИНЕЙНЫЕ ЯЗВЫ, ФИССУРЫ ЯВЛЯЮТСЯ ХАРАКТЕРНЫМИ СИМПТОМАМИ

болезни Крона

неспецифического язвенного колита

псевдомембранозного колита

ишемического колита

78. КОМПЬЮТЕРНО ТОМОГРАФИЧЕСКИМ ПРИЗНАКОМ АТЕРОСКЛЕРОЗА АОРТЫ ЯВЛЯЕТСЯ ЕЕ

расширение и удлинение

сужение и укорочение

локально сужение и удлинение

локальное расширение

79. ПРОСВЕТ ВНУТРИПЕЧЕНОЧНЫХ, ВНЕПЕЧЕНОЧНЫХ ЖЕЛЧНЫХ И ПАНКРЕАТИЧЕСКИХ ПРОТОКОВ ЛУЧШЕ ВСЕГО ПОЗВОЛЯЕТ ВИЗУАЛИЗИРОВАТЬ **магнитно-резонансная холангиография**

компьютерная томография с внутривенным контрастированием в портальную фазу

мультипланарная реформация аксиальных КТ-сканов

компьютерная томография с внутривенным болюсным контрастированием в артериальную фазу

80. МНОЖЕСТВЕННЫЕ ОЧАГИ В ЛЁГКИХ НА ФОНЕ ДИФFUЗНОГО СЕТЧАТОГО ФИБРОЗА, УВЕЛИЧЕНИЕ И ОБЫЗВЕШТВЛЕНИЕ ЛИМФАТИЧЕСКИХ УЗЛОВ СРЕДОСТЕНИЯ И КОРНЕЙ ЛЁГКИХ, МОГУТ БЫТЬ РЕНТГЕНОЛОГИЧЕСКИМИ ПРОЯВЛЕНИЯМИ

узлового типа пневмокониоза

интерстициального типа пневмокониоза

эхинококкоза лёгких

узелкового типа пневмокониоза

81. НА РЕНТГЕНОГРАММЕ ДЛЯ РАСПРОСТРАНЕННОГО ДЕФОРМИРУЮЩЕГО СПОНДИЛЕЗА ПОЗВОНОЧНИКА ХАРАКТЕРНО В ОТЛИЧИЕ ОТ АНКИЛОЗИРУЮЩЕГО СПОНДИЛОАРТРИТА БЕХТЕРЕВА

нормальное состояние крестцово-подвздошных сочленений

обызвествление передней продольной связки

снижение межпозвоночных дисков

выраженные остеофиты

82. ГЕМОРАГИЧЕСКИЕ КИСТЫ ПОЧЕК ИМЕЮТ ПЛОТНОСТЬ _____ НУ

плюс 70

минус 30

плюс 30

около 0

83. ПРИ КОМПЬЮТЕРНОЙ ТОМОГРАФИИ У РЕБЕНКА 5 ЛЕТ В БЕДРЕННОЙ КОСТИ ВЫЯВЛЕН ЭПИФИЗИОЛИЗ, ЧТО СООТВЕТСТВУЕТ

травматическому повреждению в зоне роста

опухолевому образованию в эпиметафизе

разрушению кости в зоне эпифиза

замедленному развитию в зоне роста

84. ДЛЯ ХРОНИЧЕСКОГО ПАНКРЕАТИТА ПРИ КОМПЬЮТЕРНОЙ ТОМОГРАФИИ С ВНУТРИВЕННЫМ БОЛЮСНЫМ КОНТРАСТИРОВАНИЕМ ХАРАКТЕРНО

наличие атрофии паренхимы поджелудочной железы, кальцинаты и мелкие кисты в структуре паренхимы, расширенный Вирсунгов проток

увеличение размеров поджелудочной железы, диффузное уменьшение плотности ее паренхимы при нативном исследовании и при контрастировании

наличие атрофии тела и хвоста поджелудочной железы с кистозными включениями при сохранении объема и нормальной структуры головки железы

увеличение размеров поджелудочной железы, сглаженность междольковых пространств, отек парапанкреатической клетчатки

85. ДЛЯ НЕДОСТАТОЧНОСТИ МИТРАЛЬНОГО КЛАПАНА НА РЕНТГЕНОГРАММЕ В ПРАВОЙ КОСОЙ ПРОЕКЦИИ ХАРАКТЕРЕН _____ РАДИУС ДУГИ ОТКЛОНЕНИЯ КОНТРАСТИРОВАННОГО ПИЩЕВОДА

большой

нормальный

средний

малый

86. У ПАЦИЕНТОВ С НЕДОСТАТОЧНОСТЬЮ А1-АНТИТРИПСИНА НАБЛЮДАЕТСЯ _____ ЭМФИЗЕМА

панлобулярная

буллезная

парасептальная

центрилобулярная

87. ЭВАКУАЦИЯ ИЗ ЖЕЛУДКА СТАНДАРТНОЙ ПОРЦИИ СУЛЬФАТА БАРИЯ (200 МЛ) ПРОИСХОДИТ ЧЕРЕЗ _____ ЧАСА ОТ НАЧАЛА ИССЛЕДОВАНИЯ

1,5

2

3

4

88. ПЕРИФЕРИЧЕСКАЯ ФОРМА РАКА ЛЁГКОГО МОЖЕТ ПОРАЖАТЬ _____ БРОНХИ

субсегментарные

сегментарные

главные

долевые

89. ПОД CONCHA BULLOSA ПОНИМАЮТ

воздушную клетку средней носовой раковины

воздушную клетку верхней носовой раковины

воздушную клетку крючковидного отростка

пневматизацию crista gali

90. НА РЕНТГЕНОГРАММЕ КИСТА ВЫГЛЯДИТ КАК ОКРУГЛАЯ ТЕНЬ С ЧЁТКИМИ КОНТУРАМИ, КОТОРАЯ СТАНОВИТСЯ ОВАЛЬНОЙ ПРИ ДЫХАТЕЛЬНЫХ ЭКСКУРСИЯХ ГРУДНОЙ КЛЕТКИ (СИМПТОМ НЕМЕНОВА-ЭСКУДЕРО), ЧТО ЯВЛЯЕТСЯ ХАРАКТЕРНЫМ ПРИЗНАКОМ ДЛЯ

эхинококковой кисты

альвеококкоз лёгких

аспергилломы

туберклёмы

91. II СТАДИИ ЛИМФОГРАНУЛЕМАТОЗА ПО КЛАССИФИКАЦИИ ANN ARBOR СООТВЕТСТВУЕТ ПОРАЖЕНИЕ

двух или более групп лимфоузлов по одну сторону диафрагмы

ограниченной области или одного экстранодального очага

групп лимфоузлов по обе стороны диафрагмы

экстранодальных областей и органов без поражения лимфоузлов

92. ПОЛИПОЗНАЯ, БЛЮДЦЕОБРАЗНАЯ И ИНФИЛЬТРАТИВНО-СКИРРОЗНАЯ МАКРОСКОПИЧЕСКИЕ ФОРМЫ ЯВЛЯЮТСЯ ХАРАКТЕРНЫМИ ДЛЯ

рака тонкой кишки

гемобластоза

карциноида

доброкачественной опухоли тонкой кишки

93. К ПРЯМЫМ РЕНТГЕНОЛОГИЧЕСКИМ ПРИЗНАКАМ ЯЗВЫ ЖЕЛУДКА ОТНОСЯТ **депо бариевой взвеси или симптом «ниши»**
нарушение секреторной функции желудка
нарушение моторно-эвакуаторной функции желудка
отсутствие газового пузыря

94. ГРУДНУЮ АОРТУ ПОДРАЗДЕЛЯЮТ НА **восходящую, дугу и нисходящую аорту**
дугу и терминальный отдел аорты
супраренальный и инфраренальный отделы аорты
корень и перешеек аорты

95. ОБНАРУЖЕНИЕ НА ОБЗОРНОЙ РЕНТГЕНОГРАММЕ БРЮШНОЙ ПОЛОСТИ РАСШИРЕННОЙ И УДЛИНЕННОЙ СИГМОВИДНОЙ КИШКИ, НАПОМИНАЮЩЕЙ АВТОМОБИЛЬНУЮ ШИНУ ИЛИ ДВУХСТВОЛКУ, С ГОРИЗОНТАЛЬНЫМИ УРОВНЯМИ ЖИДКОСТИ В ПРОСВЕТЕ ХАРАКТЕРНО ДЛЯ **заворота сигмовидной кишки**
ущемления толстой кишки в вентральной грыже
заворота слепой кишки
ущемление в травматической диафрагмальной грыже

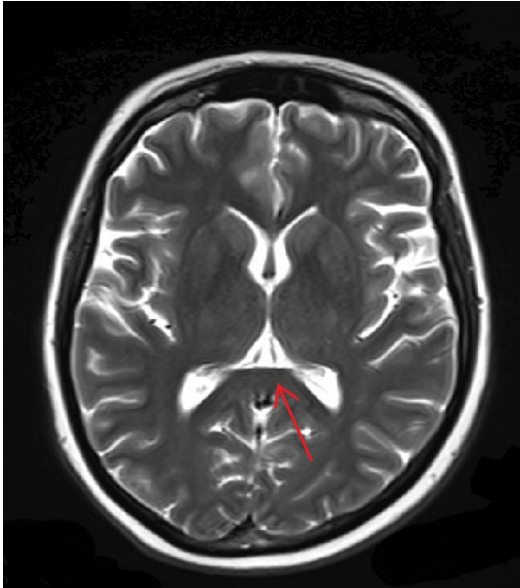
96. ПРИ КОМПЬЮТЕРНОЙ ТОМОГРАФИИ ВИСОЧНОЙ КОСТИ ОПРЕДЕЛЯЕТСЯ РЕМОДЕЛИРОВАНИЕ БАРАБАННОЙ ПОЛОСТИ, РАЗРУШЕНИЕ СЛУХОВЫХ КОСТОЧЕК, ФИСТУЛЫ ПОЛУКРУЖНЫХ КАНАЛОВ, ЧТО МОЖЕТ БЫТЬ ПРОЯВЛЕНИЕМ **холестеатомы**
хондросаркомы
невриномы
менингиомы

97. ЭКСТРАДУРАЛЬНОЕ КИСТОЗНОЕ ОБРАЗОВАНИЕ В ДОРЗАЛЬНОМ ОТДЕЛЕ ПОЗВОНОЧНОГО КАНАЛА, СООБЩАЮЩЕЕСЯ С ДУГООТРОСЧАТЫМ СУСТАВОМ, ХАРАКТЕРНО ДЛЯ **синовиальной кисты**
невриномы
узла нейрофиброматоза
секвестра грыжи межпозвонкового диска

98. НАДКЛАПАННЫЙ СТЕНОЗ АОРТЫ ЧАСТО СОЧЕТАЕТСЯ С СИНДРОМОМ **Вильямса**
Педжета – Шреттера
Эйзенменгера
Лютембахера (Лютембаше)

99. ДЛЯ ДЕФОРМИРУЮЩЕГО АРТРОЗА 3 СТЕПЕНИ ХАРАКТЕРНЫМ КТ ПРИЗНАКОМ ЯВЛЯЕТСЯ СИМПТОМ **«вакуум-феномен»**
«бамбуковой палки»
«рыбьих позвонков»
«хоккейной клюшки»

100. УКАЗАННАЯ СТРЕЛКОЙ АНАТОМИЧЕСКАЯ СТРУКТУРА ЯВЛЯЕТСЯ



валиком мозолистого тела

головкой хвостатого ядра
скорлупой
таламусом

101. РАЗРУШАЮТ КОСТНУЮ ТКАНЬ

остеокласты

хондроциты
остеобласты
остеоциты

102. ПРИ НАТИВНОЙ КОМПЬЮТЕРНОЙ ТОМОГРАФИИ ЗНАЧЕНИЯ ПЛОТНОСТИ ГЕМАТОМЫ ПЕЧЕНИ СОСТАВЛЯЮТ ___ ЕДИНИЦ ХАУНСФИЛДА

+41 - + 60

- 20 - -120

+20 - + 40

- 20 - + 20

103. ЧЕТЫРЕХСТВОРЧАТЫЙ АРТЕРИАЛЬНЫЙ КЛАПАН ЧАЩЕ ВСЕГО БЫВАЕТ ПРИ

общем артериальном стволе

тетраде Фалло
коарктации аорты
аневризме аорты

104. ДЛЯ ПАЦИЕНТОВ С ГЕМОБЛАТОЗАМИ ХАРАКТЕРНЫ ИНФЕКЦИОННЫЕ ОСЛОЖНЕНИЯ ЛЁГКИХ, ОПРЕДЕЛЯЕМЫЕ ПРИ КТ В ВИДЕ

сегментарных участков инфильтрации однородной структуры

повышения воздушности лёгких, обеднения сосудистого рисунка лёгочных полей
множественных округлых субплевральных очагов однородной плотности, различных размеров
утолщения, неровности стенок бронхов, расширения просвета

105. К ПРОЯВЛЕНИЯМ АНКИЛОЗИРУЮЩЕГО СПОНДИЛИТА ОТНОСИТСЯ

сакроилиит

эпидуральная инфильтрация
артроз дугоотростчатых суставов
формирование парартикулярных кист

106. ДЛЯ ЛЁГОЧНОЙ ГИПЕРТЕНЗИИ 2 СТЕПЕНИ ХАРАКТЕРНО СИСТОЛИЧЕСКОЕ ДАВЛЕНИЕ В ЛЁГОЧНОЙ АРТЕРИИ (ММ РТ. СТ.)

50-70

30-50
25-30
70-90

107. К ТИПУ «А» ПЕРЕРЫВА ДУГИ АОРТЫ ОТНОСЯТ ПЕРЕРЫВ НА УРОВНЕ
перешейка

восходящей аорты
проксимальной части
дистальной части

108. НАИБОЛЕЕ ЭФФЕКТИВНА ДЛЯ ВЫЯВЛЕНИЯ СИНДРОМА «ПУСТОГО» ТУРЕЦКОГО
СЕДЛА

магнитно-резонансная томография
позитронно-эмиссионная компьютерная томография
однофотонная эмиссионная компьютерная томография
каротидная ангиография

109. ВЕРХНЯЯ ГРАНЬ ПИРАМИДЫ ВИСОЧНОЙ КОСТИ ВИДНА НА РЕНТГЕНОГРАММЕ В
ПРОЕКЦИИ

Стенверса

Майера
Резе
Шуллера

110. ХАРАКТЕРНЫМ КТ-ПРИЗНАКОМ ПОДОСТРОЙ СТАДИИ ГИПЕРСЕНСИТИВНОГО
ПНЕВМОНИТА ЯВЛЯЕТСЯ

наличие центрилобулярных очагов
наличие ретикулярных изменений
диффузное уплотнение легочной ткани по типу матового стекла
сотовое легкое

111. ДЛЯ ОЦЕНКИ СВЯЗИ ПРОСВЕТА КИСТОЗНОГО КОМПОНЕНТА ОБРАЗОВАНИЯ В
ПОДЖЕЛУДОЧНОЙ ЖЕЛЕЗЕ С ПРОСВЕТОМ ПАНКРЕАТИЧЕСКОГО ПРОТОКА НАИБОЛЕЕ
ИНФОРМАТИВНОЙ ПОСЛЕДОВАТЕЛЬНОСТЬЮ ЯВЛЯЕТСЯ

магнитно-резонансная холангиопанкреатография
диффузионно-взвешенные изображения
гепатоспецифичная фаза контрастирования
построение карты измеряемого коэффициента диффузии

112. САМЫМ ШИРОКИМ ОТДЕЛОМ ЖЕЛУДОЧНО-КИШЕЧНОГО ТРАКТА ЯВЛЯЕТСЯ

желудок

толстая кишка
прямая кишка
луковица двенадцатиперстной кишки

113. НАИБОЛЕЕ ЧАСТО ВСТРЕЧАЕМОЙ КОСТНОЙ ОПУХОЛЬЮ У ПАЦИЕНТОВ СТАРШЕ
50 ЛЕТ ЯВЛЯЕТСЯ

хондросаркома

саркома Юинга
остеогенная саркома
ретикулосаркома

114. К ВНУТРИПОЗВОНОЧНЫМ ЭКСТРАДУРАЛЬНЫМ ОПУХОЛЯМ ОТНОСЯТ
НОВООБРАЗОВАНИЯ, ИСХОДЯЩИЕ ИЗ

наружного листка твердой мозговой оболочки
внутреннего листка твердой мозговой оболочки
пиальной оболочки

зубовидной связки

115. БРЫЖЕЙКА ОТСУТСТВУЕТ У _____ КИШКИ

восходящей ободочной

сигмовидной

тонкой

поперечно-ободочной

116. КОНКРЕМЕНТЫ МОЧЕТОЧНИКОВ И ПОЧЕК НА КОМПЬЮТЕРНОЙ ТОМОГРАФИИ ЛУЧШЕ ВИЗУАЛИЗИРУЮТСЯ В _____ ФАЗУ

нативную

нефрографическую

артериальную

отсроченную

117. НЕФРОКАЛЬЦИНОЗ ПРИ КОМПЬЮТЕРНОЙ ТОМОГРАФИИ НЕОБХОДИМО ДИФФЕРЕНЦИРОВАТЬ С

папиллярным некрозом

абсцессом почки

инфарктом почки

онкоцитомой

118. У ПАЦИЕНТА ЖАЛОБЫ НА ОСТРУЮ БОЛЬ В НАДБРОВНОЙ, СКУЛОВОЙ И НИЖНЕЧЕЛЮСТНОЙ ОБЛАСТЯХ С ОДНОЙ СТОРОНЫ. ПРИ МАГНИТНО-РЕЗОНАНСНОЙ ТОМОГРАФИИ ГОЛОВНОГО МОЗГА СЛЕДУЕТ ОБРАТИТЬ ВНИМАНИЕ НА ОБЛАСТЬ

хиазмально-селлярную

задней черепной ямки

выхода корешка тройничного нерва

выхода корешка лицевого нерва (глазничный нерв)

119. ОБРАЗОВАНИЕ В ПРОСВЕТЕ ЖЕЛЧНОГО ПУЗЫРЯ, ПЛОТНОСТЬ КОТОРОГО ПРИ КОМПЬЮТЕРНОЙ ТОМОГРАФИИ С ВНУТРИВЕННЫМ КОНТРАСТИРОВАНИЕМ ПОВЫШАЕТСЯ НА 15-25 HU, СООТВЕТСТВУЕТ _____ ЖЕЛЧНОГО ПУЗЫРЯ

карциноме

дивертикулу

холестериновому полипу

аденомиоматозу

120. ДЛЯ ИССЛЕДОВАНИЯ КАПИЛЛЯРНОГО КРОВОТОКА ЛЕГКОГО ИСПОЛЬЗУЮТ

перфузионную сцинтиграфию

доплерографию

компьютерную томографию грудной клетки

ангиопульмонографию

121. НА РЕНТГЕНОГРАММЕ ГРУДНОГО ОТДЕЛА ПОЗВОНОЧНИКА ВЫЯВЛЯЕТСЯ РАВНОМЕРНАЯ ПАТОЛОГИЧЕСКАЯ КОМПРЕССИЯ ТЕЛА ПОЗВОНКА В ВИДЕ УЗКОЙ КОСТНОЙ ПЛАСТИНКИ (VERTEBRA PLANA), ЧТО ХАРАКТЕРНО ДЛЯ

асептического некроза

метастазов

хондросаркомы

туберкулезного спондилита

122. ДЛЯ ОСТРОГО ЛЕГОЧНОГО СЕРДЦА ХАРАКТЕРНО

выбухание дуги легочной артерии

увеличение правого предсердия

удлинение дуги левого желудочка

увеличение левого предсердия

123. НА РЕНТГЕНОГРАММЕ ГРУДНОЙ КЛЕТКИ У ПАЦИЕНТА ВЫЯВЛЕН МИЛИАРНЫЙ ТУБЕРКУЛЕЗ ЛЕГКИХ, ПРИ ЭТОМ В ОБЩЕМ АНАЛИЗЕ КРОВИ ОТМЕЧАЮТ

умеренный лейкоцитоз, лимфопению

нормальное количество лейкоцитов, лимфопению

лейкопению и лимфоцитоз

гиперлейкоцитоз, лимфопению

124. ХАРАКТЕРНЫМИ ПРИЗНАКАМИ ТУБЕРКУЛЕЗА ПЕЧЕНИ ЯВЛЯЮТСЯ

гепатомегалия, гиперденсивные образования

гепатомегалия, гиподенсивные образования

цирроз, гиподенсивные очаги без признаков контрастирования

цирроз, изоденсивные очаги без признаков контрастирования

125. ДИАГНОСТИРОВАТЬ ДИВЕРТИКУЛИТ, ДИВЕРТИКУЛЯРНЫЙ АБСЦЕСС, ПЕРФОРАЦИЮ ДИВЕРТИКУЛА ПОЗВОЛЯЕТ

компьютерная томография брюшной полости и малого таза с внутривенным и пероральным контрастированием

магнитно-резонансная томография органов малого таза с ретроградным контрастированием толстой кишки

компьютерная томография брюшной полости с пероральным контрастированием

магнитно-резонансная томография органов брюшной полости с холангиопанкреатографией

126. СМЕЩЕНИЕ ДУГИ ЛЕВОГО ЖЕЛУДОЧКА К ПОЗВОНОЧНИКУ, РАСШИРЕНИЕ ВОСХОДЯЩЕЙ АОРТЫ, ПРИВОДЯЩЕЕ К СУЖЕНИЮ НА ЭТОМ УРОВНЕ РЕТРОСТЕРНАЛЬНОГО ПРОСТРАНСТВА ПРИ РЕНТГЕНОГРАФИИ В ЛЕВОЙ БОКОВОЙ ПРОЕКЦИИ, ХАРАКТЕРНЫ ДЛЯ

стеноза устья аорты

недостаточности митрального клапана

аневризмы грудной аорты

недостаточности аортального клапана

127. ДЛЯ ОЦЕНКИ АДЕНОИДОВ ИСПОЛЬЗУЕТСЯ РЕНТГЕНОГРАММА

носоглотки в боковой проекции

пазух в прямой проекции

по Земцову

пазух в боковой проекции

128. ДЛЯ СОЗДАНИЯ КОНДУИТА ПРИ ВЫПОЛНЕНИИ ЦИСТПРОСТАТВЕЗИКУЛЭКТОМИИ ПО БРИКЕРУ ИСПОЛЬЗУЕТСЯ _____ ОТДЕЛ КИШКИ

подвздошный

поперечно-ободочный

слепой

сигмовидный

129. ПРИ ВВЕДЕНИИ КОНТРАСТНОГО ВЕЩЕСТВА В АОРТУ КОНТРАСТИРУЕТ ЛЕВЫЙ ЖЕЛУДОЧЕК В СЛУЧАЕ

недостаточности аортального клапана

стеноза устья аорты

стеноза легочной артерии

недостаточности митрального клапана

130. ПРИ ХРОНИЧЕСКОМ МЕДИАСТИНИТЕ МОГУТ ОБРАЗОВЫВАТЬСЯ _____ ДИВЕРТИКУЛЫ ПИЩЕВОДА

тракционные

ценкеровские

эпифренальные

пульсионные

131. НОЧНОЙ ХАРАКТЕР БОЛЕЙ ТИПИЧЕН ДЛЯ

остеоид-остеомы

метастатического поражения позвоночника

болезни Педжета

спондилодисцита

132. РАК МОЛОЧНОЙ ЖЕЛЕЗЫ МЕТАСТАЗИРУЕТ В

кости

печень

головной мозг

легкие

133. ДЛЯ ОЦЕНКИ РИСКА И ТЯЖЕСТИ МЕСТНЫХ И ОБЩИХ ЛУЧЕВЫХ ПОРАЖЕНИЙ ИСПОЛЬЗУЮТ _____ ДОЗУ

поглощенную

эквивалентную

коммитментную

коллективную

134. РЕНТГЕНОВСКИЕ ЛУЧИ РАСПРОСТРАНЯЮТСЯ В ВЕЩЕСТВЕ

прямолинейно

под углом к поверхности

по экспоненциальной кривой

ступенькообразно

135. РАВНОМЕРНОЕ РАСШИРЕНИЕ ВИРСУНГОВА ПРОТОКА ВО ВСЕХ ОТДЕЛАХ ПОДЖЕЛУДОЧНОЙ ЖЕЛЕЗЫ БЕЗ ЯВНЫХ ПРИЗНАКОВ ОБСТРУКЦИИ НА ФОНЕ АТРОФИЧЕСКИХ ИЗМЕНЕНИЙ ПАРЕНХИМЫ МОЖЕТ СООТВЕТСТВОВАТЬ

хроническому панкреатиту

обструкции главного панкреатического протока рентгеногегативным конкрементом

аномалии развития главного панкреатического протока

билиарной гипертензии

136. К ДОБРОКАЧЕСТВЕННЫМ ОПУХОЛЯМ МОЛОЧНОЙ ЖЕЛЕЗЫ ОТНОСЯТ

фиброаденому

дуктоэктазию

мастит

диффузную мастопатию

137. ОПУХОЛЬ СЛИЗИСТОЙ ДНА ПОЛОСТИ РТА ЧАЩЕ ВСТРЕЧАЕТСЯ В _____ ОТДЕЛАХ

передних

задних

боковых и задних

боковых

138. КЛИНИЧЕСКИЕ ПРОЯВЛЕНИЯ ПОЯВЛЯЮТСЯ В _____ СТАДИИ ЗАБОЛЕВАНИЯ ЭХИНОКОККОЗОМ

II

IV

III

I

139. ДЛЯ ПАРЕНХИМЫ ПЕЧЕНИ НОРМАЛЬНЫМИ ЯВЛЯЮТСЯ ЗНАЧЕНИЯ ДЕНСИТОМЕТРИЧЕСКОЙ ПЛОТНОСТИ _____ HU

60-70

20-40

40-60

0-20

140. ДОПОЛНИТЕЛЬНАЯ ТЕНЬ МЯГКОТКАННОЙ ПЛОТНОСТИ НА ФОНЕ ГАЗОВОГО ПУЗЫРЯ ЖЕЛУДКА ХАРАКТЕРНА ДЛЯ

опухоли желудка

грыжи пищеводного отверстия диафрагмы

язвы желудка

безоара

141. НАИБОЛЕЕ ПОДХОДЯЩЕЕ ОПРЕДЕЛЕНИЕ ДЛЯ БОЛЕЗНИ ДЕЙВИКА (ОПТИКОМИЕЛИТ)-ДЕМИЕЛИНИЗИРУЮЩЕЕ ЗАБОЛЕВАНИЕ, ХАРАКТЕРИЗУЮЩЕЕСЯ НЕВРИТОМ ЗРИТЕЛЬНОГО НЕРВА (ОДНОСТОРОННИЙ И ДВУХСТОРОННИЙ) И

поперечным миелитом спинного мозга

очагами демиелинизации в головном мозге (не менее 1 очага накопления контрастного препарата) и спинном мозге (не менее 1 очага накопления контрастного препарата)

супратенториальными очагами демиелинизации (не менее 2 очагов накопления контрастного препарата)

инфратенториальными очагами демиелинизации (не менее 2 очагов накопления контрастного препарата)

142. «ВТОРОЙ (ЛЕГОЧНЫЙ) БАРЬЕР» МОЖЕТ ВОЗНИКНУТЬ ПРИ

митральном стенозе

изолированном стенозе легочной артерии

трикуспидальном стенозе

тетраде Фалло

143. ТИПИЧНОЕ МЕСТО ОТХОЖДЕНИЯ АБЕРРАНТНОЙ ПРАВОЙ ПОДКЛЮЧИЧНОЙ АРТЕРИИ РАСПОЛОЖЕНО ДИСТАЛЬНЕЕ

левой подключичной артерии

правой общей сонной артерии

левой общей сонной артерии

плечеголовного ствола

144. ОСНОВНЫМ МЕТОДОМ ЛУЧЕВОЙ ДИАГНОСТИКИ ЗАБОЛЕВАНИЙ И ПОВРЕЖДЕНИЙ ЧЕЛЮСТНО-ЛИЦЕВОЙ ОБЛАСТИ ЯВЛЯЕТСЯ

рентгенологический

магнитно-резонансной томографии

компьютерной томографии

ультразвуковой диагностики

145. ПРОБА ВАЛЬСАЛЬВЫ НАИБОЛЕЕ ЭФФЕКТИВНО ИСПОЛЬЗУЕТСЯ В ДИАГНОСТИКЕ

артерио-венозной аневризмы легкого

закрытого абсцесса легкого

междолевого осумкованного плеврита

эхинококковой кисты легкого

146. ПОВЫШЕНИЕ ПРОЗРАЧНОСТИ ОДНОГО ИЛИ ОБОИХ ЛЕГОЧНЫХ ПОЛЕЙ, ОПРЕДЕЛЯЕМОЕ НА РЕНТГЕНОГРАММАХ ОРГАНОВ ГРУДНОЙ ПОЛОСТИ, СООТВЕТСТВУЕТ СИНДРОМУ

обширного просветления

ограниченной очаговой диссеминации

обширного затенения

обширной очаговой диссеминации

147. ПРИ КОМПЬЮТЕРНОЙ ТОМОГРАФИИ ВЫЯВЛЯЕТСЯ ГОРИЗОНТАЛЬНЫЙ ДЕФЕКТ В ДУЖКЕ (СИМПТОМ «РАЗОМКНУТОГО КОЛЬЦА») И АНТЕЛИСТЕЗ L5 ПОЗВОНКА, ЧТО МОЖЕТ БЫТЬ ПРОЯВЛЕНИЕМ

спондилолиза

хондроза

сколиоза

спондилоартроза

148. ПРИЗНАКОМ ХРОНИЧЕСКОГО ПАНКРЕАТИТА ПРИ МАГНИТНО-РЕЗОНАНСНОЙ ТОМОГРАФИИ ЯВЛЯЕТСЯ

расширение просвета главного панкреатического протока

отек парапанкреатической клетчатки, визуализируемый на T2-ВИ с подавлением сигнала от жира
наличие участков повышенного накопления контрастного вещества при выполнении исследования с контрастным усилением

наличие мелких участков выпадения сигнала в просвете панкреатического протока

149. ОБЕДНЕНИЕ СОСУДИСТОГО РИСУНКА ЛЁГКИХ ХАРАКТЕРНО ДЛЯ

тетрады Фалло

стеноза устья аорты

дефекта межпредсердной перегородки

открытого артериального протока

150. МСКТ СЕРДЦА С В/В БОЛЮСНЫМ КОНТРАСТИРОВАНИЕМ ДЛЯ ДИАГНОСТИКИ ВРОЖДЕННОГО ПОРОКА У ДЕТЕЙ ПЕРВОГО ГОДА ЖИЗНИ ПРОВОДЯТ С ЭКГ СИНХРОНИЗАЦИЕЙ В ФАЗУ

поздней систолы

максимальной диастолы

конечной диастолы

максимальной систолы

151. ГИПЕРТРОФИЯ ПРАВОГО ЖЕЛУДОЧКА УКАЗЫВАЕТ НА

дефект межжелудочковой перегородки

стеноз правого атрио-вентрикулярного отверстия

стеноз устья аорты

недостаточность клапана аорты

152. ТОТАЛЬНОЕ ГОМОГЕННОЕ ЗАТЕНЕНИЕ ЛЕГОЧНОГО ПОЛЯ СО СМЕЩЕНИЕМ СРЕДОСТЕНИЯ В СТОРОНУ ЗАТЕНЕНИЯ ОПРЕДЕЛЯЕТСЯ НА РЕНТГЕНОГРАММЕ ПРИ

ателектазе легкого

тотальном пневмотораксе

тотальном гидротораксе

крупозной пневмонии

153. НАИБОЛЕЕ ЧАСТЫМ ОСЛОЖНЕНИЕМ ХРОНИЧЕСКОГО ГНОЙНОГО ОТИТА ЯВЛЯЕТСЯ

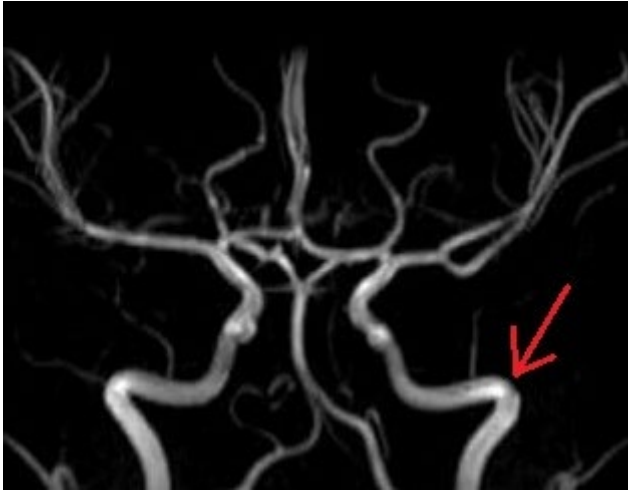
холестеатома

невринома

тубоотит

синусит

154. УКАЗАННАЯ СТРЕЛКОЙ АНАТОМИЧЕСКАЯ СТРУКТУРА ЯВЛЯЕТСЯ _____ АРТЕРИЕЙ



внутренней сонной
позвоночной
средней мозговой
задней мозговой

155. ОСНОВНЫМ ФИЗИКО-ТЕХНИЧЕСКИМ ТРЕБОВАНИЕМ К ЦИФРОВОМУ МАММОГРАФУ ЯВЛЯЕТСЯ РАЗРЕШАЮЩАЯ СПОСОБНОСТЬ НЕ МЕНЕЕ _____ ПАР/ЛИНИЙ

10
9
8
7

156. У РЕБЕНКА НАЛИЧИЕ «УГЛОВАТЫХ» СТЕНОК БОКОВЫХ ЖЕЛУДОЧКОВ, ПАРАВЕНТРИКУЛЯРНЫХ КИСТ, А ТАКЖЕ УЧАСТКОВ СНИЖЕНИЯ ВЫСОТЫ МОЗОЛИСТОГО ТЕЛА СВИДЕТЕЛЬСТВУЕТ О

перивентрикулярной лейкомаляции
анатомическом варианте строения
перенесенной окклюзионной гидроцефалии
перенесенном бактериальном энцефалите

157. ПОД ДЕФОРМИРУЮЩИМ СПОНДИЛОАРТРОЗОМ ПОНИМАЮТ ДЕГЕНЕРАТИВНО-ДИСТРОФИЧЕСКИЙ ПРОЦЕСС В

межпозвоночных суставах
межостистых сочленениях
области межпозвоночных дисков
реберно-позвоночных суставах

158. РЕНТГЕНОЛОГИЧЕСКИЙ СИНДРОМ ОГРАНИЧЕННОГО ЗАТЕНЕНИЯ ЛЕГОЧНОГО ПОЛЯ ХАРАКТЕРЕН ДЛЯ

плевральной шварты
крупной кисты легкого, заполненной воздухом
крупной панлобулярной буллы
локального скопления воздуха в полости плевры

159. ПРИ РЕНТГЕНОСКОПИИ ТЕНЬ ОСУМКОВАННОГО ПРИСТЕНОЧНОГО ВЫПОТА

вытягивается на вдохе и расширяется на выдохе
расширяется на вдохе и смещается книзу на выдохе
сужается на вдохе и вытягивается на выдохе
не меняет своих размеров и положения в зависимости от фазы дыхания

160. В НОРМЕ ЛЕВАЯ НИЖНЯЯ ДУГА КОНТУРА СРЕДОСТЕНИЯ НА ПЕРЕДНЕЙ РЕНТГЕНОГРАММЕ ЛЕГКИХ ОБРАЗОВАНА

левым желудочком
нижней полой веной
легочной связкой
левым предсердием

161. ПОВЕРХНОСТНЫЕ, РАЗБРОСАННЫЕ ЯЗВЫ НЕПРАВИЛЬНОЙ ФОРМЫ ЯВЛЯЮТСЯ ХАРАКТЕРНЫМИ СИМПТОМАМИ

неспецифического язвенного колита

псевдомембранозного колита

ишемического колита

болезни Крона

162. ФОКУСНОЕ РАССТОЯНИЕ ПРИ ТЕЛЕРЕНТГЕНОГРАФИИ СОСТАВЛЯЕТ (М)

1,5-2

1-1,5

0,5-1

2-2,5

163. НАИБОЛЕЕ ВЕРОЯТНЫМИ КТ-ИЗМЕНЕНИЯМИ ПЕЧЕНИ У ПАЦИЕНТА Н. 60 ЛЕТ С АНАМНЕЗОМ ДЛИТЕЛЬНОГО ЗЛОУПОТРЕБЛЕНИЯ АЛКОГОЛЕМ И СНИЖЕНИЕМ УРОВНЯ ГЕМОГЛОБИНА, ПАНЦИТОПЕНИЕЙ В АНАЛИЗЕ КРОВИ ЯВЛЯЮТСЯ

участки сегментарного фиброза и регенераторные узелки

области снижения плотности паренхимы, изоденсивность внутripеченочных сосудов паренхиме
множественные узелки плотностью 35-34 ед.Н. с участками обызвествления, лимфаденопатия
множественные диффузные мелкие гиподенсные очаги с кольцевидным контрастным усилением

164. ВЕНЕЧНЫЙ КРУГ КРОВООБРАЩЕНИЯ ЗАКАНЧИВАЕТСЯ В

правом предсердии

правом желудочке

левом предсердии

левом желудочке

165. ОБСТРУКЦИЯ ПУТЕЙ ОТТОКА ИЗ ЛЕВОГО ЖЕЛУДОЧКА, ОБУСЛОВЛЕННАЯ НАДКЛАПАННЫМ ФИКСИРОВАННЫМ АНАТОМИЧЕСКИМ СУЖЕНИЕМ (ЛОКАЛЬНЫМ СТЕНОЗОМ, ФИБРОЗНОЙ МЕМБРАНОЙ ИЛИ ДИФфуЗНОЙ ТУБУЛЯРНОЙ ГИПЕРПЛАЗИЕЙ ВОСХОДЯЩЕЙ АОРТЫ И ЕЕ ВЕТВЕЙ), ЯВЛЯЕТСЯ ПРИЗНАКОМ

надклапанного аортального стеноза

аортоартериита Такаюсу

обструктивной кардиомиопатии

ангиосаркомы аорты

166. УМЕНЬШЕНИЕ ДИАМЕТРА АОРТЫ ХАРАКТЕРНО ПРИ

стенозе левого атриовентрикулярного отверстия

недостаточности аортального клапана

недостаточности митрального клапана

атероматозе аорты

167. ДЛЯ АОРТАЛЬНОЙ РЕГУРГИТАЦИИ 1 СТЕПЕНИ ХАРАКТЕРНО ВОЗВРАТНОЕ ЗАПОЛНЕНИЕ КОНТРАСТОМ _____ ЛЕВОГО ЖЕЛУДОЧКА ВО ВРЕМЯ АОРТОГРАФИИ

1/3 полости

всей полости

1/2 полости

выносящего тракта

168. ПЛАЩЕВОЙ СЛОЙ ЛЕГКОГО СОСТАВЛЯЮТ

легочные дольки

разветвления мелких бронхов

разветвления мелких сосудов
листки костальной плевры

169. БОЛЕЗНЬЮ ОСГУДА – ШЛЯТТЕРА НАЗЫВАЮТ
остеохондропатию бугристости большеберцовой кости
воспалительные изменения латерального надмыщелка локтевой кости
кистовидную перестройку крыши вертлужной впадины
остеонекроз головки бедренной кости

170. ОБЩИМ РЕНТГЕНОЛОГИЧЕСКИМ ПРИЗНАКОМ ЛЮБОГО ВИДА МЕХАНИЧЕСКОЙ
КИШЕЧНОЙ НЕПРОХОДИМОСТИ ЯВЛЯЕТСЯ НАЛИЧИЕ
горизонтального уровня жидкости в просвете кишки
свободной жидкости в брюшной полости
свободного газа в брюшной полости
свободного газа в забрюшинном пространстве

171. ПОРЯДОК ОКАЗАНИЯ МЕДИЦИНСКОЙ ПОМОЩИ ВКЛЮЧАЕТ
**этапы оказания медицинской помощи, правила организации деятельности, стандарт
оснащения, рекомендуемые штатные нормативы медицинской организации**
план диспансерного наблюдения пациента с указанием кратности осмотра врачами-специалистами,
выполнения лабораторных и инструментальных исследований – неправильно
информацию об этиологии, патогенезе, клинике, диагностике, лечении и профилактике конкретного
заболевания
усредненные показатели частоты предоставления медицинских услуг и кратности применения
лекарственных препаратов

172. ЭФФЕКТИВНОСТЬ ТОМОСИНТЕЗА ПОВЫШАЕТСЯ ПРИ ВЫПОЛНЕНИИ ЕГО В
_____ ПРОЕКЦИИ
прямой и косой
только прямой
только боковой
только косой

173. РАЗРЫВ МЕНИСКА, ОПРЕДЕЛЯЕМЫЙ НА МРТ В ВИДЕ ЛИНИИ, ПРОХОДЯЩЕЙ ПО
ВСЕЙ ДЛИНЕ МЕНИСКА СО СМЕЩЕНИЕМ ЕГО ФРАГМЕНТА В ОБЛАСТЬ
МЕЖМЫШЦЕЛКОВОГО ВОЗВЫШЕНИЯ, ЯВЛЯЕТСЯ
полным продольным
комбинированным
неполным горизонтальным
паракапсулярным

174. ПОВЫШЕНИЕ МР-СИГНАЛА В РЕЖИМЕ DWI НАИБОЛЕЕ ХАРАКТЕРНО ДЛЯ
лимфомы
тератомы
метастазов
глиомы

175. ПРИ МАГНИТНО-РЕЗОНАНСНОЙ ТОМОГРАФИИ КОЛЕННОГО СУСТАВА СОСТОЯНИЕ
МЕНИСКОВ ОЦЕНИВАЕТСЯ ПО ШКАЛЕ
Stoller или H.Shahriaree
Modic
Anderson and D'Alonzo
Schatzker

176. ПРИЗНАКОМ ПАРАЭЗОФАГЕАЛЬНОЙ ГРЫЖИ ПИЩЕВОДНОГО ОТВЕРСТИЯ
ДИАФРАГМЫ ЯВЛЯЕТСЯ
смещение дна желудка над диафрагмой

сужение пищевода отверстия диафрагмы
циркулярное утолщение стенок пищеводно-желудочного перехода
расположение пищеводно-желудочного перехода над диафрагмой

177. ДИАПАЗОН ДЕНСИТОМЕТРИЧЕСКИХ ПОКАЗАТЕЛЕЙ С ЦЕНТРОМ – 600 НУ И ШИРИНОЙ 1200 НУ ОТНОСИТСЯ К _____ ОКНУ

легочному
костному
печеночному
мягкотканому

178. ОСНОВНЫМ ОТЛИЧИТЕЛЬНЫМ ПРИЗНАКОМ ПОСТПНЕВМОНИЧЕСКОГО ПНЕВМОФИБРОЗА ЯВЛЯЕТСЯ

стабильная рентгенологическая картина
сближение и деформация бронхов
уплотнение и деформация легочного интерстиция
уменьшение объема пораженного участка

179. НАИБОЛЕЕ ЧАСТО АБСЦЕСС ГОЛОВНОГО МОЗГА У ВЗРОСЛЫХ РАЗВИВАЕТСЯ ПРИ **отите**

врожденных пороках сердца
приобретенных пороках сердца
фарингите

180. ЖЕНЩИНА 22 ЛЕТ СПУСТЯ ДВЕ НЕДЕЛИ ПОСЛЕ РОДОВ ПРЕДЪЯВЛЯЕТ ЖАЛОБЫ НА ПОВЫШЕНИЕ ТЕМПЕРАТУРЫ ДО 39°C, БОЛИ И ПРИПУХЛОСТЬ В МОЛОЧНОЙ ЖЕЛЕЗЕ. ПРИ ОСМОТРЕ МОЛОЧНАЯ ЖЕЛЕЗА ОТЕЧНА, БАГРОВО-КРАСНОГО ЦВЕТА, ПАЛЬПАТОРНО – БОЛЬ, ДИФФУЗНЫЙ ИНФИЛЬТРАТ, В ПОДМЫШЕЧНОЙ ОБЛАСТИ БОЛЕЗНЕННЫЕ ЛИМФУЗЛЫ. ТАКАЯ КЛИНИЧЕСКАЯ КАРТИНА ХАРАКТЕРНА ДЛЯ

острого мастита
узловой формы мастопатии
диффузной фиброзно-кистозной мастопатии
инфильтративно-отечной формы рака молочной железы

181. СНИЖЕНИЕ МОТОРИКИ ТОНКОЙ КИШКИ И ЗАМЕДЛЕНИЕ ПРОХОЖДЕНИЯ БАРИЕВОЙ ВЗВЕСИ ПО НЕЙ НАБЛЮДАЕТСЯ ПРИ

гипотиреозе
болезни Боткина
холецистите
ахилическом гастрите

182. ДЕТАЛЬНОЕ ИЗУЧЕНИЕ РЕЛЬЕФА СЛИЗИСТОЙ ТОНКОЙ КИШКИ ВОЗМОЖНО ПРИ ПРОВЕДЕНИИ ИССЛЕДОВАНИЯ С

жидкой взвесью сульфата бария
водорастворимым контрастным веществом
радиофармпрепаратом
парамагнитным препаратом

183. УВЕЛИЧЕНИЕ ЛЕВОГО ЖЕЛУДОЧКА, ОПРЕДЕЛЯЕМОЕ ПРИ РЕНТГЕНОГРАФИИ, НАБЛЮДАЕТСЯ ПРИ

открытом артериальном протоке
митральном стенозе
триаде Фалло
трикуспидальном стенозе

184. К ОПУХОЛЯМ НИЗКОЙ СТЕПЕНИ ЗЛОКАЧЕСТВЕННОСТИ (GRADE I-II WHO) ОТНОСИТСЯ

ганглиogliома

анапластическая астроцитома
метастазы меланомы
медуллобластома

185. ГИПОТОНИЯ ЖЕЛУДКА ОТНОСИТСЯ К _____ ЗАБОЛЕВАНИЯМ

функциональным

опухолевым
эндокринным
воспалительно-деструктивным

186. К ПРЯМЫМ РЕНТГЕНОЛОГИЧЕСКИМ ПРИЗНАКАМ ПЕРЕЛОМА КОСТИ ОТНОСЯТ НАЛИЧИЕ _____ В ОБЛАСТИ ТРАВМЫ

линии перелома

субхондрального склероза
периостита
остеопороза

187. ЧЕТКАЯ ТЕНЬ ВСЕХ КОНТУРОВ ЛЕВОГО ПРЕДСЕРДИЯ В ПРЯМОЙ ПРОЕКЦИИ МОЖЕТ НАБЛЮДАТЬСЯ ПРИ

тетраде Фалло

гипертонической болезни
митральной недостаточности
дефекте межжелудочковой перегородки

188. НАРУШЕНИЕ ГЕМОДИНАМИКИ В МАЛОМ КРУГЕ КРОВООБРАЩЕНИЯ ПРИ ЗАТРУДНИТЕЛЬНОМ ОТТОКЕ ИЗ НЕГО ХАРАКТЕРИЗУЕТСЯ

венозным застоем

гиповолемией
нормальным легочным кровотоком
гиперволемией

189. ПРИ ИССЛЕДОВАНИИ ПАЦИЕНТА С РАКОМ СРЕДНЕЙ ТРЕТИ ПРЯМОЙ КИШКИ ПУНКТ MRF+ В ЗАКЛЮЧЕНИИ СООТВЕТСТВУЕТ РАСПОЛОЖЕНИЮ ОПУХОЛИ БЛИЖЕ _____ ММ ОТ МЕЗОРЕКТАЛЬНОЙ ФАСЦИИ

1

10

15

5

190. ПОСЛЕ ПЕРОРАЛЬНОГО ПРИЕМА ВЗВЕСИ СУЛЬФАТА БАРИЯ ВСЕ ОТДЕЛЫ ТОЛСТОЙ КИШКИ КОНТРАСТИРУЮТСЯ В НОРМЕ ЧЕРЕЗ _____ ЧАСА/ЧАСОВ

24

48

5

12

191. ПРИ ОДНОСТОРОННЕМ ТРОМБОЗЕ КАВЕРНОЗНОГО СИНУСА НАИБОЛЕЕ ЧАСТО РАСШИРЯЕТСЯ

глазничная вена на стороне поражения

большая вена Галена
прямой синус
яремная вена на стороне поражения

192. ФОРМА МЕЖПОЗВОНОЧНОГО ДИСКА L5-S1 В НОРМЕ

клиновидная с расширением кпереди

клиновидная с расширением кзади

клиновидная с расширением латерально
лентовидная

193. РЕНТГЕНОГРАММЫ НА ВЫДОХЕ ПРОВОДЯТСЯ ДЛЯ ВЫЯВЛЕНИЯ
выраженного пневмоторакса

выпота в плевральной полости в малом количестве
перикардита
подвижности диафрагмы

194. ХАРАКТЕРНЫМ КТ-ПРИЗНАКОМ РАКА ГОРТАНИ ЯВЛЯЕТСЯ
наличие дополнительного образования

патологическая структурная перестройка хрящевых структур
расширение гортанных желудочков
нечеткая дифференциация элементов гортани

195. ОДНОМОМЕНТНЫЙ ОБЪЕМ РЕНТГЕНОВСКОГО КОМПЬЮТЕРНО-
ТОМОГРАФИЧЕСКОГО ИССЛЕДОВАНИЯ ПРИ ТРАВМЕ ГРУДИ И ЧЕРЕПНО-МОЗГОВОЙ
ТРАВМЕ ДОЛЖЕН ВКЛЮЧАТЬ В СЕБЯ ПРОВЕДЕНИЕ КТ ОБЛАСТИ

головного мозга, шейного отдела позвоночника и грудной клетки

брюшной полости, забрюшинного пространства
верхних и нижних конечностей
органов малого таза и грудного отдела позвоночника

196. ПАТОГНОМОНИЧНЫМ ПРИЗНАКОМ БОЛЕЗНИ ГАЛЛЕРВОРДЕНА-ШПАТЦА
ЯВЛЯЕТСЯ

«глаз тигра»

«глаз змеи»

«морда панды»

«клюв колибри»

197. ОСНОВНЫМ РЕНТГЕНОЛОГИЧЕСКИМ КРИТЕРИЕМ ПРИ ДИФФЕРЕНЦИАЛЬНОЙ
ДИАГНОСТИКЕ СМОРЩЕННОЙ ПОЧКИ И ГИПОПЛАЗИИ ЯВЛЯЕТСЯ

состояние сосудистого русла

наличие выделительной фазы
отсутствие изображения мочевого пузыря
расположение почки

198. ПРИ МРТ ИНТЕНСИВНОСТЬ СИГНАЛА ОТ ОРГАНА ПРИ ГЕМОСИДЕРОЗЕ
СНИЖАЕТСЯ ИЗ-ЗА

неоднородности магнитного поля

появления множественных артефактов
уменьшения времени T1-релаксации
повышения времени T2-релаксации

199. В СТАНДАРТНОЙ СПИН-ЭХО ПОСЛЕДОВАТЕЛЬНОСТИ В РЕЖИМЕ T2, ЖИР
и стационарная жидкость имеют высокий сигнал

и стационарная жидкость имеют низкий сигнал
имеет высокий сигнал, а стационарная жидкость имеет низкий сигнал
имеет низкий сигнал, а стационарная жидкость имеет высокий сигнал

200. ЖИДКОСТНАЯ СТРУКТУРА С ПУЗЫРЬКАМИ ГАЗА И ЛИНЕЙНЫМ ВКЛЮЧЕНИЕМ
КОСТНОЙ ПЛОТНОСТИ У ПАЦИЕНТА С ОСТРОЙ БОЛЬЮ В ГРУДНОЙ КЛЕТКЕ И
ГИПЕРТЕРМИЕЙ, ВЫЯВЛЕННАЯ ПРИ КОМПЬЮТЕРНОЙ ТОМОГРАФИИ ГРУДНОЙ
КЛЕТКИ В ЗАДНЕМ СРЕДОСТЕНИИ, ХАРАКТЕРНА ДЛЯ

перфорации пищевода и медиастинита

тракционного дивертикула пищевода
тератомы средостения

грыжи пищеводного отверстия диафрагмы

201. РАЗВИТИЕ ___ ОБУСЛАВЛИВАЮТ ВАЖНОСТЬ КОМПЬЮТЕРНОТОМОГРАФИЧЕСКОЙ ДИАГНОСТИКИ ПЕРЕЛОМА ЗАДНЕЙ СТЕНКИ ЛОБНОЙ ПАЗУХИ

ликвореи, эмпиемы и менингита

инфицированного гемосинуса

ринита, сфеноидита и отита

фронтита, этмоидита, гайморита

202. К ОРГАНАМ И ТКАНЯМ, НАИБОЛЕЕ ЧУВСТВИТЕЛЬНЫМ К ВОЗДЕЙСТВИЮ ИОНИЗИРУЮЩЕГО ИЗЛУЧЕНИЯ И РАЗВИТИЮ СТОХАСТИЧЕСКИХ ЭФФЕКТОВ, ОТНОСЯТ

гонады

костный мозг

щитовидную железу

кожу

203. ДЛЯ ВЫЯВЛЕНИЯ ГИПЕРВАСКУЛЯРНЫХ МЕТАСТАЗОВ В ПЕЧЕНИ НАИБОЛЕЕ ИНФОРМАТИВНОЙ ИМПУЛЬСНОЙ ПОСЛЕДОВАТЕЛЬНОСТЬЮ ЯВЛЯЕТСЯ

артериальная фаза контрастирования

портальная фаза контрастирования

МР-диффузия с построением карт ИКД

T2-ВИ с подавлением сигнала от жировой ткани

204. ПЕРИПРОТОКОВЫЙ ОТЕК В ВИДЕ ГИПОДЕНСНОГО ОБОДКА ВОКРУГ ВНУТРИПЕЧЕНОЧНЫХ ПОРТАЛЬНЫХ СОСУДОВ И РЕЖЕ ВОКРУГ ПЕЧЕНОЧНЫХ ВЕН НАИБОЛЕЕ ВЕРОЯТНО СООТВЕТСТВУЕТ ПРОЯВЛЕНИЯМ

вирусного гепатита

амилоидоза печени

пелиоза печени

цирроза печени

205. ИСКРИВЛЕНИЕ ОСИ ДЛИННЫХ КОСТЕЙ, ВЫЯВЛЕННОЕ ПРИ РЕНТГЕНОГРАФИИ, НАИБОЛЕЕ ХАРАКТЕРНО ДЛЯ

гиперпаратиреодной остеодистрофии

остеопороза

остеомаляции

нефрогенной остеодистрофии

206. В ПРЯМОЙ ПРОЕКЦИИ ЛЕВЫЙ КОНТУР СЕРДЕЧНО-СОСУДИСТОЙ ТЕНИ СОСТОИТ ИЗ _____ ДУГ

4

3

2

5

207. НАИБОЛЕЕ ТОЧНЫМ МЕТОДОМ ДИАГНОСТИКИ ЛИМФОГРАНУЛЕМАТОЗА ЯВЛЯЕТСЯ

иммуногистохимическое исследование пунктата

компьютерная томография с контрастным усилением

магнитно-резонансная томография с контрастным усилением

ультразвуковое исследование с контрастным усилением

208. УБЕДИТЕЛЬНЫМ ПРИЗНАКОМ ПЕРЕЛОМА КОСТЕЙ ЧЕРЕПА НА РЕНТГЕНОГРАММЕ ЯВЛЯЕТСЯ

прерывистость коркового слоя

уплотнение костной структуры
разрежение костной структуры
периостальная реакция

209. ПОСЛЕ РЕЗЕКЦИИ ЖЕЛУДКА ПО БИЛЬРОТ I ПЕРИСТАЛЬТИКА В КУЛЬТЕ ЖЕЛУДКА
В НОРМЕ

сохранена, менее глубокая

не изменена

не прослеживается

усилена

210. ЛЕВОЕ ЛЕГКОЕ ПО ЛОНДОНСКОЙ СХЕМЕ СОСТОИТ ИЗ _____ СЕГМЕНТОВ

9

10

6

8

211. НА РЕНТГЕНОГРАММЕ ТОТАЛЬНОЕ ЗАТЕНЕНИЕ ЛЕГОЧНОГО ПОЛЯ С
СИМПТОМОМ ВОЗДУШНОЙ БРОНХОГРАФИИ БЕЗ СМЕЩЕНИЯ СРЕДОСТЕНИЯ
СООТВЕТСТВУЕТ

крупозной пневмонии

тотальному пневмотораксу

ателектазу легкого

тотальному гидротораксу

212. ДЛЯ МУЦИНОЗНОГО ТИПА РАКА ПРЯМОЙ КИШКИ ПРИ МРТ ХАРАКТЕРНО

наличие высокого сигнала на T2-ВИ, сопоставимого с жидкостью

выраженное снижение показателей измеряемого коэффициента диффузии

высокого сигнала на T1-ВИ за счет полостей с вязким муцинозным содержимым

раннее метастазирование в печень и регионарные лимфатические узлы

213. ЧЕТВЕРТЫЙ ТИП ОБЩЕГО АРТЕРИАЛЬНОГО СТВОЛА ПО КЛАССИФИКАЦИИ
J.EDWARDS И R.COLLETT ПО СУТИ ОТНОСИТСЯ К

атрезии легочной артерии

дефекту аорто-легочной перегородки

одному из вариантов перерыва дуги аорты

синдрому гипоплазии левого сердца

214. НАЛИЧИЕ ФИБРОЗНОЙ ДИСПЛАЗИИ КОСТЕЙ ОСНОВАНИЯ ЧЕРЕПА ПРИВОДИТ К
_____ КАНАЛОВ И ОТВЕРСТИЙ

сужению

деструкции стенок

деформации

расширению

215. ДЛЯ ОСТЕОСКЛЕРОЗА ПРИ ПРИМЕНЕНИИ ЛУЧЕВЫХ МЕТОДОВ ИССЛЕДОВАНИЯ
ХАРАКТЕРНО _____ КОСТНОЙ СТРУКТУРЫ

уплотнение

рассасывание

разрежение

размягчение

216. НАИБОЛЕЕ РАСПРОСТРАНЕННОЙ ОПУХОЛЬЮ ПОДЖЕЛУДОЧНОЙ ЖЕЛЕЗЫ
ЯВЛЯЕТСЯ

протоковая карцинома

эндокринная карцинома

муцинозная цистаденома

серозная цистаденома

217. ОЧАГ КРОВОИЗЛИЯНИЯ ДАВНОСТЬЮ БОЛЕЕ ТРЕХ НЕДЕЛЬ В ЦЕНТРЕ НА МРТ ВЫГЛЯДИТ КАК _____ НА T1-ВИ, _____ НА T2-ВИ

изоинтенсивный, изоинтенсивный
гиперинтенсивный, гипоинтенсивный
гипоинтенсивный, гипоинтенсивный
гиперинтенсивный, гиперинтенсивный

218. НА ОБЗОРНОЙ РЕНТГЕНОГРАММЕ ЖИВОТА ЗАТРУДНИТЕЛЬНО ОБНАРУЖИТЬ **рентгеноконтрастные инородные тела**

газ и жидкость в кишечнике
перфорации полого органа
рентгеноконтрастные инородные тела

219. НАЛИЧИЕ УЗУРАЦИЙ НИЖНЕГО КРАЯ ЗАДНИХ ОТРЕЗКОВ РЕБЕР ХАРАКТЕРНО ДЛЯ **коарктации аорты**

аневризмы грудной аорты
синдрома Марфана
стеноза аортального клапана

220. ВРЕДНЫЕ БИОЛОГИЧЕСКИЕ ЭФФЕКТЫ, ВЫЗВАННЫЕ ИОНИЗИРУЮЩИМ ОБЛУЧЕНИЕМ В ОТНОШЕНИИ КОТОРЫХ ПРЕДПОЛАГАЕТСЯ СУЩЕСТВОВАНИЕ ПОРОГА, НИЖЕ КОТОРОГО ЭФФЕКТ ОТСУТСТВУЕТ, А ВЫШЕ –ТЯЖЕСТЬ ЭФФЕКТА ЗАВИСИТ ОТ ДОЗЫ, НАЗЫВАЮТСЯ

детерминированными
радиационными
кумулятивными
стахастическими

221. ОПТИМАЛЬНЫМ ЛУЧЕВЫМ МЕТОДОМ ВЫЯВЛЕНИЯ РАСХОЖДЕНИЯ И РАЗРЫВА ЛОННОГО СОЧЛЕНЕНИЯ В РАННЕМ ПОСЛЕРОДОВОМ ПЕРИОДЕ ЯВЛЯЕТСЯ

магнитно-резонансная томография
рентгеноскопия
радиоизотопное исследование
позитронно-эмиссионная томография

222. ЦИСТЕРНЫ ПРЕДСТАВЛЯЮТ СОБОЙ **расширения подпаутинного пространства**

анастомозы
отдельные сосуды
расщепления твердой мозговой оболочки

223. НЕПАРНАЯ ВЕНА (V.AZYGOS) ВПАДАЕТ В _____ ВЕНУ

верхнюю полую
правую верхнюю лёгочную
нижнюю полую
левую плечеголовную

224. ОСТЕОХОНДРОПАТИЯ БУТРИСТОСТИ БОЛЬШЕБЕРЦОВОЙ КОСТИ НАИБОЛЕЕ ЧАСТО РАЗВИВАЕТСЯ У ПАЦИЕНТОВ В ВОЗРАСТЕ _____ ЛЕТ

15-20
60-65
5-10
30-35

225. ЦЕНКЕРОВСКИЕ ДИВЕРТИКУЛЫ ОБРАЗУЮТСЯ НА _____ ПИЩЕВОДА

задней стенке

передней стенке

боковых стенках

передней и боковых стенках

226. СЛЕДУЕТ ЛИ РЕКОМЕНДОВАТЬ ПРЕКРАЩЕНИЕ ЛАКТАЦИИ ПРИ КЛИНИЧЕСКИ И РЕНТГЕНОЛОГИЧЕСКИ УСТАНОВЛЕННОМ ДИАГНОЗЕ «МАСТИТ С ФОРМИРОВАНИЕМ АБСЦЕССА»?

не следует

следует прекращать по желанию пациентки

следует

следует прекращать в случае сохранения изменений при контрольном обследовании

227. ПРИ ВЫЯВЛЕНИИ ВНУТРИСТЕНОЧНОГО МЯГКОТКАННОГО ОБРАЗОВАНИЯ В ПИЩЕВОДЕ В ПЕРВУЮ ОЧЕРЕДЬ ПРЕДПОЛАГАЕТСЯ

лейомиома

шваннома

нейроэндокринная опухоль

гастроинтестинальная стромальная опухоль

228. ПРИЗНАКОМ КАНЦЕРОМАТОЗА БРЮШНОЙ ПОЛОСТИ НЕ ЯВЛЯЕТСЯ

облаковидное уплотнение клетчатки брыжейки тонкой кишки

утолщение брюшины

тотальное уплотнение большого сальника

мякотканый очаг в большом сальнике

229. ПРИ ОПИСАНИИ ИЗМЕНЕНИЙ В МОЛОЧНЫХ ЖЕЛЕЗАХ ПОМИМО ДЕЛЕНИЯ НА КВАДРАНТЫ ЕЩЕ ПРИНЯТО ОРИЕНТИРОВАТЬСЯ

по часовому циферблату

на верхние и нижние отделы

на наружные и внутренние отделы

на отделы между анатомическими границами передней грудной стенки (переднеключичный, среднеключичный, переднеподмышечный)

230. К НАИБОЛЕЕ ЧАСТОЙ ОПУХОЛИ ГОРТАНИ ОТНОСИТ

плоскоклеточный рак

аденокарцинома

саркома

базальноклеточная опухоль

231. ВКЛЮЧЕНИЯ ВЫРАЖЕННО ПОНИЖЕННОГО СИГНАЛА НА T1-ВИ И T2-ВИ В ЖИДКОСТНОМ СКОПЛЕНИИ БРЮШНОЙ ПОЛОСТИ ХАРАКТЕРНЫ ДЛЯ

газа

секвестров

крови

гноя

232. ДЛЯ ФОКАЛЬНОЙ НОДУЛЯРНОЙ ГИПЕРПЛАЗИИ ПЕЧЕНИ ХАРАКТЕРНО НАЛИЧИЕ **артериальной гиперваскуляризации**

отека прилежащей печеночной паренхимы

микроскопических жировых включений на T1 opposed phase

макроскопических жировых включений

233. ХАРАКТЕРНЫМ МР-ПРИЗНАКОМ ДЛЯ ГЕПАТОЦЕЛЛЮЛЯРНОГО РАКА ЯВЛЯЕТСЯ

сочетание в структуре жировых включений и некрозов

кольцевидный тип контрастирования в артериальную фазу

наличие центрального рубца, отсроченно накапливающего контрастный препарат

гомогенное контрастирование в гепатоспецифичную фазу (интенсивнее печеночной паренхимы)

234. ПОД АСИММЕТРИЕЙ МОЛОЧНОЙ ЖЕЛЕЗЫ ПОНИМАЮТ УЧАСТОК (ОБЛАСТЬ), ПРЕДСТАВЛЯЮЩИЙ СОБОЙ ОДНОСТОРОННЕЕ ПЕРЕРАСПРЕДЕЛЕНИЕ **фибро-гlandулярной** ткани в молочной железе без наличия определённых границ, который **нельзя описать как образование**

микрокальцинатов

фибро-гlandулярной ткани в молочной железе без наличия определённых границ, который можно описать как образование

фибро-гlandулярной ткани в молочной железе с четкими границами, который можно описать как образование

235. ПРИ АНЕВРИЗМЕ ЛЕВОГО ЖЕЛУДОЧКА НАБЛЮДАЮТ **ограниченное выбухание стенки левого желудочка**

его уменьшение

диффузное расширение сердца

его обычные размеры

236. ВДАВЛЕНИЕ ПИЩЕВОДА, ВЫЗВАННОЕ ПРИЛЕГАНИЕМ НИСХОДЯЩЕЙ ЧАСТИ ГРУДНОЙ АОРТЫ, ЛУЧШЕ ВСЕГО НАБЛЮДАЕТСЯ В _____ ПРОЕКЦИИ

левой косо

боковой

правой косо

прямой

237. ДЛЯ ВЫЯВЛЕНИЯ ОПУХОЛЕЙ СТВОЛА ГОЛОВНОГО МОЗГА НАИБОЛЕЕ ИНФОРМАТИВНЫМ МЕТОДОМ СЧИТАЮТ

магнитно-резонансную томографию

компьютерную томографию

радиоизотопное исследование

каротидную ангиографию

238. МОЩНОСТЬ ДОЗЫ ИЗЛУЧЕНИЯ РЕНТГЕНОВСКОГО ИСТОЧНИКА ИЗЛУЧЕНИЯ _____ РАССТОЯНИЯ/РАССТОЯНИЮ

обратно пропорциональна квадрату кожно-фокусного

обратно пропорциональна кожно-фокусному

пропорциональна кожно-фокусному

не зависит от кожно-фокусного

239. ДЛЯ РЕНТГЕНОЛОГИЧЕСКОГО ИССЛЕДОВАНИЯ МОЧЕВЫХ ОРГАНОВ ПОСЛЕ ВНУТРИВЕННОГО ВВЕДЕНИЯ РЕНТГЕНОКОНТРАСТНЫХ СРЕДСТВ, ПОКАЗАНА МЕТОДИКА

экскреторной урографии

цистографии

ретроградной уретеропиелографии

уретрографии

240. ЛУЧЕВЫМ МЕТОДОМ, КОТОРЫЙ ПОЗВОЛЯЕТ ДЕТАЛЬНО ВИЗУАЛИЗИРОВАТЬ ЗОНАЛЬНУЮ АНАТОМИЮ ПРЕДСТАТЕЛЬНОЙ ЖЕЛЕЗЫ, ЯВЛЯЕТСЯ

магнитно-резонансная томография

компьютерная томография

ультразвуковое исследование

радиоизотопное исследование

241. ПО ДАННЫМ PI-RADS V2.1 ДЛЯ ОЦЕНКИ ПЕРИФЕРИЧЕСКОЙ ЗОНЫ ДОМИНАНТНОЙ ПОСЛЕДОВАТЕЛЬНОСТЬЮ ЯВЛЯЕТСЯ

ДВИ и ИКД

T2-ВИ
T1-ВИ
T1-ВИ с внутривенным динамическим контрастированием

242. УСИЛЕНИЕ ЛЕГОЧНОГО РИСУНКА В ПРИКОРНЕВОЙ ЗОНЕ И ЕГО ОБЕДНЕНИЕ НА ПЕРИФЕРИИ В СОЧЕТАНИИ С РАСШИРЕНИЕМ СТВОЛА ЛЕГОЧНОЙ АРТЕРИИ ХАРАКТЕРНО ДЛЯ РЕНТГЕНОЛОГИЧЕСКОЙ КАРТИНЫ

легочной гипертензии

гиповолемии
интерстициального отёка легких
венозного застоя

243. НА УРОВНЕ II ГРУДНОГО ПОЗВОНКА ПИЩЕВОД СМЕЩАЕТСЯ К ПЕРЕДИ И ВЛЕВО **нисходящей аортой**

дугой аорты
восходящей аортой
левым главным бронхом

244. ОТНОСИТЕЛЬНЫМ ПРОТИВОПОКАЗАНИЕМ К МАГНИТНО-РЕЗОНАНСНОЙ ТОМОГРАФИИ ТАЗОБЕДРЕННОГО СУСТАВА ЯВЛЯЕТСЯ

клаустрофобия

металлическая клипса на сосуде
кардиостимулятор
электронный имплантат среднего уха

245. В ДИФФЕРЕНЦИАЛЬНОЙ ДИАГНОСТИКЕ ДОЛЕВОЙ ПНЕВМОНИИ ОТ АТЕЛЕКТАЗА С ПОМОЩЬЮ КОМПЬЮТЕРНОЙ ТОМОГРАФИИ НАИБОЛЕЕ ВАЖНЫМ КРИТЕРИЕМ ЯВЛЯЕТСЯ

состояние долевого бронха

однородность структуры пораженного участка
объем доли
плотность пораженного участка

246. ПРИ ТЕТРАДЕ ФАЛЛО ВЫДЕЛЯЮТ _____ ТИПА СУЖЕНИЯ ВЫВОДНОГО ОТДЕЛА ПРАВОГО ЖЕЛУДОЧКА

4
6
8
3

247. ДИАПАЗОН ДЕНСИТОМЕТРИЧЕСКИХ ПОКАЗАТЕЛЕЙ С ЦЕНТРОМ 50 HU И ШИРИНОЙ 350 HU ОТНОСИТСЯ К _____ ОКНУ

мягкотканому

костному
легочному
печеночному

248. ПРИ УЛЬТРАЗВУКОВОМ ИССЛЕДОВАНИИ ДЛИНА ТЕЛА МАТКИ В РЕПРОДУКТИВНОМ ВОЗРАСТЕ СОСТАВЛЯЕТ В НОРМЕ ___ СМ

6-7
11-12
4-5
9-10

249. ОГРАНИЧЕНИЕМ ДЛЯ ПРОВЕДЕНИЯ ТРЕПАН-БИОПСИИ НЕПАЛЬПИРУЕМОГО ОБРАЗОВАНИЯ СИСТЕМОЙ ПИСТОЛЕТ-ИГЛА ПОД РЕНТГЕНОВСКИМ НАВЕДЕНИЕМ С ВЕРТИКАЛЬНЫМ ДОСТУПОМ ЯВЛЯЕТСЯ

расположение образования у основания молочной железы

наличие метастатически пораженных аксиллярных лимфатических узлов
расположение узлового образования в центральном квадранте
расположение образования в преареолярной зоне

**250. УЛЬТРАЗВУК ИМЕЕТ НИЗКУЮ ЭФФЕКТИВНОСТЬ В
определении микрокальцинатов**

уточнении изменений, выявленных при пальпации
уточнении изменений, обнаруженных при маммографии
выборе метода при "плотных" молочных железах

**251. УМЕНЬШЕНИЕ РАЗМЕРОВ ПЕЧЕНИ С СОХРАНЕНИЕМ ОБЪЕМА ХВОСТАТОЙ ДОЛИ,
УЗЛОВАЯ ТРАНСФОРМАЦИЯ ПАРЕНХИМЫ ПЕЧЕНИ ЯВЛЯЮТСЯ ПРИЗНАКАМИ
цирроза печени**

острого токсического гепатита
амилоидоза печени
жирового гепатоза

**252. ОТОБРАЖЕНИЕ КАРИЕСА НА РЕНТГЕНОГРАММЕ - УЧАСТКИ ЗУБА С
ПОВЕРХНОСТНЫМИ ИЛИ ГЛУБОКИМИ ПРОНИКАЮЩИМИ В КАМЕРУ ЗУБА
ДЕСТРУКТИВНЫМИ ПОЛОСТЯМИ В ВИДЕ
просветлений**

просветлений и расширением периодонтальной щели
просветлений и деструктивными изменениями окружающей костной ткани нижней челюсти
уплотнений

**253. КОСТНУЮ ОСНОВУ СРЕДНЕЙ НОСОВОЙ РАКОВИНЫ ОБРАЗУЕТ
решетчатая кость**

глазничная часть лобной кости
альвеолярный отросток верхней челюсти
носовая часть лобной кости

**254. ПРИ КОМПЬЮТЕРНОЙ ТОМОГРАФИИ ГРУДНОЙ КЛЕТКИ ДЛЯ ОЦЕНКИ СОСТОЯНИЯ
ПОЗВОНОЧНИКА ПРИМЕНЯЮТ _____ РЕЖИМ ПРОСМОТРА ИЗОБРАЖЕНИЙ
костный**

промежуточный
мягкотканый
лёгочный

**255. ПРАВЫЙ И ЛЕВЫЙ БРОНХИ ВОЗНИКАЮТ ПОСЛЕ БИФУРКАЦИИ ТРАХЕИ И
НАПРАВЛЯЮТСЯ К ВОРОТАМ СООТВЕТСТВУЮЩЕГО ЛЕГКОГО, ПРИ ЭТОМ ОБЫЧНО
ПРАВЫЙ БРОНХ**

короче, но шире левого
короче и уже левого
длиннее, но уже левого
длиннее и шире левого

**256. ДЛЯ ВЫЯВЛЕНИЯ ЭКЗОФИТНЫХ ОБРАЗОВАНИЙ ТОЛСТОЙ КИШКИ НАБОЛЕЕ
ИНФОРМАТИВНЫМИ ЯВЛЯЮТСЯ РЕНТГЕНОГРАММЫ, ВЫПОЛНЕННЫЕ
в условиях первичного двойного контрастирования**

при полутугом наполнении
при тугом наполнении
в условиях пневмоколонографии

**257. СРЕДИННАЯ ТЕНЬ НА РЕНТГЕНОГРАММЕ ОРГАНОВ ГРУДНОЙ КЛЕТКИ
СФОРМИРОВАНА СУММАЦИЕЙ ИЗОБРАЖЕНИЯ
органов средостения**

грудиной и ребрами
главных бронхов и трахеи
вен и артерий

258. ДЛЯ ОБРАБОТКИ ИЗОБРАЖЕНИЯ В СОСТАВЕ КОМПЬЮТЕРНО-ТОМОГРАФИЧЕСКОЙ
УСТАНОВКИ ИСПОЛЬЗУЮТ

рабочие станции

устройства для записи информации
сканирующие устройства с излучателями
пьезоэлектрические преобразователи

259. ПРИ КОМПЬЮТЕРНОЙ ТОМОГРАФИИ МУКОЦЕЛЕ НАИБОЛЕЕ ЧАСТО ВЫЯВЛЯЕТСЯ
В _____ ПАЗУХЕ

лобной

правой гайморовой
клиновидной
левой гайморовой

260. ПАЦИЕНТКАМ РЕПРОДУКТИВНОГО ВОЗРАСТА ТОМОСИНТЕЗ ВЫПОЛНЯЕТСЯ С
_____ ДЕНЬ МЕНСТРУАЛЬНОГО ЦИКЛА

6 по 12

25 по 28
13 по 18
19 по 24

261. ПРИ ВЫДЕЛЕНИИ ТИПОВ АТЕЛЕКТАЗОВ ОКРУГЛЫЙ ОТНОСИТСЯ К

компрессионному

рубцовому
адгезивному
обтурационному

262. ПРИ ВВЕДЕНИИ КОНТРАСТНОГО ВЕЩЕСТВА В ЛЕВЫЙ ЖЕЛУДОЧЕК
КОНТРАСТИРУЕТСЯ ЛЕВОЕ ПРЕДСЕРДИЕ В СЛУЧАЕ

недостаточности митрального клапана

стеноза митрального отверстия
стеноза устья аорты
недостаточности клапанов аорты

263. ИЗЛУЧЕНИЯ, ИСПОЛЬЗУЕМЫЕ В ЛУЧЕВОЙ ДИАГНОСТИКЕ, ПОДРАЗДЕЛЯЮТ НА

ионизирующие и неионизирующие

магнитно-ядерные и цитостатические
радиоактивные и магнитно-ядерные
протонно-эмиссионные и нейтронные

264. АБСОЛЮТНЫМ ПРОТИВОПОКАЗАНИЕМ К КОМПЬЮТЕРНОЙ ТОМОГРАФИИ
ПОЗВОНОЧНИКА ЯВЛЯЕТСЯ

беременность в 1 триместре

электронный имплантат среднего уха
вес пациента более 120 кг
кардиостимулятор

265. ПО ГИСТОЛОГИЧЕСКОЙ КЛАССИФИКАЦИИ РАКА ПРЕДСТАТЕЛЬНОЙ ЖЕЛЕЗЫ
НАИБОЛЕЕ ЧАСТО ВСТРЕЧАЕТСЯ

ацинарная аденокарцинома

уротелиальная карцинома
протоковый РПЖ
нейроэндокринный РПЖ

266. ДЛЯ ТИПИЧНОЙ СЕРОЗНОЙ ЦИСТАДЕНОМЫ ПОДЖЕЛУДОЧНОЙ ЖЕЛЕЗЫ ХАРАКТЕРНО РАСПОЛОЖЕНИЕ КАЛЬЦИНАТОВ

в центральном отделе

по периферии в виде «скорлупы»

диффузно в структуре опухоли

по подлежащей стенке полости/полостей (седиментация)

267. РОЛЬ КОМПЬЮТЕРНОЙ ТОМОГРАФИИ ПЕЧЕНИ С ВНУТРИВЕННЫМ КОНТРАСТИРОВАНИЕМ ПРИ ХРОНИЧЕСКОМ ВИРУСНОМ ГЕПАТИТЕ ЗАКЛЮЧАЕТСЯ В

ранней диагностике гепатоцеллюлярного рака

определении степени активности воспалительного процесса

оценке степени ответа на терапию интерфероном

ранней диагностике портальной гипертензии

268. ОКРУГЛОЕ ПРИКОРНЕВОЕ ПРОСВЕТЛЕНИЕ (ПЛЕВРАЛЬНОЕ ОКНО), ВЫЯВЛЕННОЕ НА РЕНТГЕНОГРАММЕ ПРИ МАССИВНОМ ЭКССУДАТИВНОМ ПЛЕВРИТЕ, НАИБОЛЕЕ ВЕРОЯТНО, ЯВЛЯЕТСЯ

отображением поджатого легкого

признаком буллезной эмфиземы

ретенционной кистой

признаком распада легочной ткани

269. ПО ДАННЫМ PI-RADS V2.1 ОПУХОЛЬ ПЕРИФЕРИЧЕСКОЙ ЗОНЫ ПРЕДСТАТЕЛЬНОЙ ЖЕЛЕЗЫ РАЗМЕРАМИ БОЛЕЕ 1,5 СМ С ИНФИЛЬТРАЦИЕЙ СЕМЕННЫХ ПУЗЫРЬКОВ ОТНОСЯТ К PI-RADS

5

2

4

3

270. ВНУТРИПЛЕВРАЛЬНОЕ ДАВЛЕНИЕ НАИБОЛЕЕ НИЗКОЕ В _____ ОБЛАСТИ

наддиафрагмальной

верхушечной

медиастинальной

костальной

271. ДЛЯ ОЦЕНКИ НАЧАЛЬНЫХ ИЗМЕНЕНИЙ НА КТ ПРИ ИНСУЛЬТЕ ИСПОЛЬЗУЮТ ШКАЛУ

ASPECTS

MAGNIMS

Хант-Хесс (Hunt Hess)

RANO

272. УСИЛЕНИЕ, ДЕФОРМАЦИЯ, СЕТЧАТАЯ ТРАНСФОРМАЦИЯ ЛЁГОЧНОГО РИСУНКА НА ОГРАНИЧЕННОМ УЧАСТКЕ РЕНТГЕНОЛОГИЧЕСКИ ПРОЯВЛЯЕТСЯ ПРИ _____ ПНЕВМОСКЛЕРОЗЕ

сетчатом

опухолеподобном прикорневом

опухолеподобном шаровидном

ателектатическом

273. К ВНУТРИПЕЧЕНОЧНЫМ ПРОТОКАМ ОТНОСЯТСЯ

правый, левый долево

панкреатический, общий печеночный

общий желчный, пузырный

панкреатический, пузырный

274. НАИБОЛЕЕ ИНФОРМАТИВНЫМ МЕТОДОМ ВЫЯВЛЕНИЯ МАКРОАДЕНОМЫ ГИПОФИЗА ЯВЛЯЕТСЯ

магнитно-резонансная томография

рентгеновская томография

компьютерная томография

рентгенография в носо-подбородочной проекции

275. ТОЛЬКО В СЛУЧАЕ ПАТОЛОГИЧЕСКИХ ИЗМЕНЕНИЙ НА КТ ВИДНА

терминальная бронхиола

центральная ацинарная артерия

ацинус (ацинарная долька)

респираторная бронхиола

276. ДИФFUЗНОЕ СНИЖЕНИЕ СИГНАЛА СЕЛЕЗЕНКИ НА T2 И T1 ВИ ХАРАКТЕРНО ДЛЯ

первичного гемохроматоза

окклюзии селезеночной вены

диффузной лимфомы селезенки

портальной гипертензии

277. В ПЕРЕРЫВЕ ДУГИ АОРТЫ В ЗАВИСИМОСТИ ОТ ЛОКАЛИЗАЦИИ ВЫДЕЛЯЮТ _____ ТИПА

3

2

5

4

278. К ОРГАНАМ ЗАДНЕГО СРЕДОСТЕНИЯ ОТНОСИТСЯ

непарная вена

правая внутригрудная артерия

вилочковая железа

правый главный бронх

279. НАИБОЛЕЕ ИНФОРМАТИВНЫМ МЕТОДОМ РАННЕЙ ДИАГНОСТИКИ РАКА МОЛОЧНОЙ ЖЕЛЕЗЫ ЯВЛЯЕТСЯ

маммография

радионуклидная диагностика с ³²P

пальпация

термография

280. ДЛЯ ДИАГНОСТИКИ НЕВИДИМЫХ ИНОРОДНЫХ ТЕЛ ПИЩЕВОДА БЕЗ ПРИЗНАКОВ ОБТУРАЦИИ ПРИМЕНЯЕТСЯ

бариевая паста

жидкая взвесь сульфата бария

смоченный бариевой взвесью кусочек алтейного корня

водорастворимое контрастное вещество

281. НАЧИНАЯ С ГРУДНОГО ВОЗРАСТА, У БОЛЬНЫХ С ДЕФЕКТОМ МЕЖПРЕДСЕРДНОЙ ПЕРЕГОРОДКИ РАСШИРЯЕТСЯ

правое предсердие

левое предсердие

правый желудочек

левый желудочек

282. ДЛЯ БОЛЬНЫХ С ИММУНОДЕФИЦИТОМ ПРИ ОСТРЫХ ЛЕЙКОЗАХ, ОТДЕЛЬНЫХ ФОРМАХ ГЕМОБЛАСТОЗОВ И СПИДЕ НАИБОЛЕЕ ХАРАКТЕРНЫМ ОСЛОЖНЕНИЕМ ЯВЛЯЕТСЯ

пневмоцистная пневмония

эхинококкоз лёгких
милиарная пневмония
фридлендеровская пневмония

283. РАСШИРЕНИЕ, ПОТЕРЯ СТРУКТУРНОСТИ И ЧЁТКОСТИ ИЗОБРАЖЕНИЯ КОРНЯ ЛЁГКОГО, ЧАЩЕ НАБЛЮДАЕМЫЕ С ОДНОЙ СТОРОНЫ, ХАРАКТЕРНЫ ДЛЯ

пневмонии

туберкулёза
ателектаза лёгкого
инфаркта

284. ПРИЧИНАМИ СИНДРОМА ОБШИРНОГО ПРОСВЕТЛЕНИЯ ЛЕГОЧНОГО ПОЛЯ ЯВЛЯЮТСЯ

эмфизема легких и пневмоторакс

гипоплазия легкого и тотальный ателектаз легкого
пневмоторакс и гидроторакс
гигантская киста легкого, заполненная воздухом, и ателектаз доли легкого

285. АРТЕРИОЛЫ ОТ ПЛЕВРЫ ЗАКАНЧИВАЮТСЯ НА РАССТОЯНИИ _____ ММ

10-15

10-20
5-10
2-4

286. ИЗОБРАЖЕНИЕ КАКОГО ОРГАНА ВПЕРВЫЕ БЫЛО ПОЛУЧЕНО С ПОМОЩЬЮ КОМПЬЮТЕРНОЙ ТОМОГРАФИИ?

мозга

сердца
легких
печени

287. ОЧАГ ОСТЕОЛИЗА В КОСТЯХ СВОДА ЧЕРЕПА МОЖЕТ САМОПРОИЗВОЛЬНО ИСЧЕЗНУТЬ ПРИ

эозинофильной гранулеме

миеломе
остеомиелите
метастазе опухоли

288. НИША, НЕ ВЫХОДЯЩАЯ ЗА КОНТУР ЖЕЛУДКА, С АСИММЕТРИЧНЫМ ИНФИЛЬТРАТИВНЫМ ВАЛОМ, ИМЕЮЩИМ ПОДРЫТЫЕ, НЕРОВНЫЕ КОНТУРЫ, РАСПОЛОЖЕННАЯ ПО БОЛЬШОЙ КРИВИЗНЕ ХАРАКТЕРНА ДЛЯ

рака желудка с изъязвлением

язвы желудка
эрозивного гастрита
полипа с изъязвлением

289. ДИСФАГИЯ НА ПЕРВОМ ГЛОТКЕ ВОЗНИКАЕТ ПРИ

эзофагоспазме

ахалазии 1 типа
ахалазии 2 типа
кардиоспазме

290. РЕНТГЕНОЛОГИЧЕСКОЙ МЕТОДИКОЙ, ПОЗВОЛЯЮЩЕЙ УТОЧНИТЬ ИЗМЕНЕНИЯ ДВЕНАДЦАТИПЕРСТНОЙ КИШКИ ПРИ ИЗМЕНЕНИЯХ СОСЕДНИХ ОРГАНОВ, ЯВЛЯЕТСЯ

релаксационная дуоденография

радиоизотопное исследование

исследование желудка и двенадцатиперстной кишки с водорастворимым контрастным веществом
исследование желудка и двенадцатиперстной кишки с бариевой взвесью

291. ПРИ ОЦЕНКЕ КОМПЬЮТЕРНО-ТОМОГРАФИЧЕСКИХ ИЗОБРАЖЕНИЙ (± 20 HU), ДЕНСИТОМЕТРИЧЕСКИЕ ПОКАЗАТЕЛИ ОТ ____ ДО ____ ПО ШКАЛЕ ХАУНСФИЛДА МОГУТ БЫТЬ ОТНЕСЕНЫ К МЯГКОТКАННОМУ КОМПОНЕНТУ В СТРУКТУРЕ ОБРАЗОВАНИЙ

40; 80

0; 20

-200; -1000

0; -100

292. РЕНТГЕНОЛОГИЧЕСКОЕ ИССЛЕДОВАНИЕ ПОЛЫХ ОРГАНОВ ПИЩЕВАРИТЕЛЬНОЙ СИСТЕМЫ ВКЛЮЧАЕТ

рентгеноскопию, обзорную и прицельную рентгенографию

только рентгеноскопию

только прицельную рентгенографию

только обзорную рентгенографию

293. ПРИЧИНОЙ ВОЗНИКНОВЕНИЯ ЛЕГОЧНОЙ СЕКВЕСТРАЦИИ ЯВЛЯЕТСЯ

наличие дополнительного сосуда, отходящего от аорты

гипоплазия легочной артерии

хронический воспалительный процесс

аномалия развития бронхов

294. В НОРМЕ НА РЕНТГЕНОГРАММЕ ПРАВОЕ ПРЕДСЕРДИЕ В _____ ПРОЕКЦИИ НЕ ЯВЛЯЕТСЯ КРАЕОБРАЗУЮЩИМ

левой боковой

левой передней косой

прямой (переднезадней)

правой передней косой

295. ПРИ ПРОВЕДЕНИИ ЦИФРОВОЙ МАММОГРАФИИ ОСНОВНЫМ СРЕДСТВОМ ИНДИВИДУАЛЬНОЙ ЗАЩИТЫ ПАЦИЕНТКИ ЯВЛЯЕТСЯ

рентгенозащитный фартук

рентгенозащитный воротник

рентгенозащитные очки

рентгенозащитная ширма

296. ДИАМЕТР ТРАХЕИ СОСТАВЛЯЕТ ОКОЛО (ММ)

22-26

15-17

30-32

28-30

297. В СРЕДНИЙ НОСОВОЙ ХОД НЕ ПРОИСХОДИТ ДРЕНИРОВАНИЯ ИЗ

Задних клеток решетчатого лабиринта

лобной пазухи

передних клеток решетчатого лабиринта

верхнечелюстной пазухи

298. ПОД ИЗЛЮБЛЕННОЙ ЛОКАЛИЗАЦИЕЙ ГЕМАНГИОМЫ ПОЛОСТИ НОСА ПОНИМАЮТ

передний отдел носовой перегородки

свод носоглотки

клиновидно-небную вырезку

клиновидно-небное отверстие

299. НЕ ИЗМЕНЯЕТ НОРМАЛЬНЫЙ ХОД КОНТРАСТИРОВАННОГО ПИЩЕВОДА

непарная вена

аорта

левое предсердие

левый главный бронх

300. ДЛЯ КИСТЫ ПИЩЕВОДА ХАРАКТЕРНА ФОРМА

висячей капли

неправильная

округлая

«песочных часов»